

Министерство Образования и Науки Российской Федерации  
Московский физико-технический институт (ГУ)  
Кафедра физики твёрдого тела  
Институт физики твердого тела РАН

---

На правах рукописи

ХИСАМЕЕВА Алина Рамилевна

**“Исследование плазменных возбуждений в  
системе двумерных анизотропных  
фермионов”**

Магистерская образовательная программа  
010600 — прикладная физика и математика

Выпускная квалификационная работа  
на степень магистра

Научный руководитель:  
к.ф.-м.н. Вячеслав М. МУРАВЬЕВ,  
старший научный сотрудник ИФТТ (РАН)

Черноголовка — 2016

# Оглавление

<b>Введение</b>	<b>3</b>
<b>1 Литературный обзор</b>	<b>5</b>
1.1 Плазменные и магнитоплазменные возбуждения . . . . .	5
1.1.1 Объёмные плазмоны . . . . .	5
1.1.2 Плазмоны в двумерных электронных системах . . . . .	8
1.1.3 Краевые магнитоплазмоны . . . . .	12
1.1.4 Спектр магнитоплазменных возбуждений в анизотропном случае	13
1.2 Двумерные электронные системы на основе AlAs . . . . .	14
<b>2 Постановка задачи</b>	<b>17</b>
<b>3 Методика измерения и образцы</b>	<b>18</b>
3.1 Образцы . . . . .	18
3.2 Методика измерений . . . . .	21
3.3 Копланарная техника детектирования плазменных возбуждений . . . . .	23
<b>4 Магнитоплазменные возбуждения     двумерных анизотропных     фермионов в квантовых ямах AlAs</b>	<b>26</b>
<b>5 Исследование спектра     магнитоплазменных возбуждений     при изменение заселенности долин посредством механической дефор-     мации</b>	<b>32</b>
5.1 Калиброка пьезоактуатора . . . . .	33
5.2 Результаты измерений . . . . .	35
<b>Выводы</b>	<b>39</b>
<b>Благодарности</b>	<b>41</b>

**Список публикаций** 42

**Список литературы** 43

# Введение

В области физики твёрдого тела исследование низкоразмерных электронных систем занимает одно из центральных и наиболее важных мест. Особый интерес для изучения представляют собой коллективные возбуждения - волны зарядовой плотности и спиновой плотности. Волны зарядовой плотности (плазмоны) в двумерных электронных системах (ДЭС) имеют ряд уникальных и интересных свойств: в отличие от трехмерного случая, плазменные возбуждения имеют бесщелевой спектр; их дисперсия легко управляема посредством изменения концентрации электронов или путём приложения внешнего магнитного поля. Это даёт возможность контролировать плазменные возбуждения в широком пределе.

Много научных работ было посвящено исследованию коллективных состояний в режиме сильного электрон-электронного взаимодействия. Идеальными системами для такого исследования являются полупроводниковые гетероструктуры. Дробный квантовый эффект Холла [1], переход металл-диэлектрик [2] являются примерами таких состояний. Электрон-электронное взаимодействие описывается параметром  $r_s$ , который характеризуется отношением между энергией кулоновского взаимодействия и энергией Ферми. Кроме этого параметр  $r_s$  пропорционален эффективной массе носителей заряда. Этот факт побудил интерес к ДЭС с сильно анизотропными эффективными массами. ДЭС на основе квантовых ям AlAs, является одним из наиболее перспективных материалов для таких исследований [6].

Объёмный AlAs является непрямозонным полупроводником, электроны заполняют три эквивалентной долины в  $X$  точках зоны Бриллюэна. Долинное вырождение частично снимается при переходе к ДЭС. Для квантовых ям на основе AlAs, ширина которых более 5 нм, выращенных на подложке GaAs (001), только ( $X$ ) [100] и ( $Y$ ) [010] долины заполняются электронами. Такое поведение является следствием присутствия остаточной деформации в плоскости из-за разности между постоянными решёток AlAs и GaAs. Вследствие этого -долина опускается ниже  $Y$ -долины и между ними возникает энергетическая щель  $\Delta E$  [3, 4, 5]. Междолинное расщепление приводит к радикальной перестройке спектра магнитоплазменных возбуждений. Расстояние между двумя долинами можно варьировать при помощи внешней механической деформации, приложенной к образцу и тем самым изменять спектр магнитоплазменных возбуждений. Из транспортных измерений были получены значения эффективных масс:  $m_l = (1.1 \pm 0.1)m_0$

— для продольной и  $m_{tr} = (0.20 \pm 0.02)m_0$  — для поперечной осей эллипсоида поверхности Ферми. Для объёмного AlAs фактор Ланде  $g^* = 2$  значительно больше, чем в GaAs ( $g^* = -0.44$ ). Эти свойства делают гетероструктуры на основе AlAs идеальным объектом для изучения явлений в многодолинных и многочастичных системах.

Микроволновая магнитоспектроскопия является наиболее прямым методом для характеристики поверхности Ферми и определения эффективных масс [9]. Двумерные плазмоны в изотропных гетероструктурах GaAs были обнаружены с помощью данной методики и в настоящее время уже хорошо изучены [10, 11]. Тем не менее, все исследования по динамике плазмы в анизотропных ДЭС ограничивались способом, когда для создания небольшой анизотропии в изотропной 2DES использовалось сильное магнитное поле [13, 14, 15]. Двумерные электронные системы с естественной сильной анизотропией масс, а также многокомпонентные ДЭС, до сих пор не были хорошо изучены [7].

Плазменные возбуждения в низкоразмерных квантовых системах имеют потенциальное приложение в области детектирования и генерации электромагнитного излучения в терагерцовом диапазоне (0.13 THz). Электромагнитное излучение в терагерцовом частотном диапазоне все ещё остаётся единственной технически плохо освоенной областью электромагнитного спектра с потрясающими перспективами для исследований и инноваций.

Дипломная работа состоит из введения, пяти глав, заключения и списка литературы. Первая глава содержит в себе литературные обзоры по физике плазмонов и основным особенностям двумерных электронных систем на основе AlAs. Во второй главе сформулирована постановка задачи. В третьей главе описаны процесс изготовления образцов и методика эксперимента. Основные результаты работы приведены в четвёртой и пятой главах, а также сжато вынесены в заключение.

# 1. Литературный обзор

## 1.1 Плазменные и магнитоплазменные возбуждения

Плазма — электронейтральный газ носителей положительных и отрицательных зарядов, взаимодействующих по закону Кулона. Плазменные возбуждения представляют собой коллективные колебания носителей зарядов. То же понятие применимо к твёрдому телу, где носителями отрицательного заряда являются электроны проводимости, а положительного — ионная решётка. Электроны проводимости, а значит, и плазма существует в металлах, полуметаллах и полупроводниках. Причём, в металлах поведение электронов проводимости определяет практически все их свойства, включая энергию связи, кристаллическую структуру, электрические характеристики, теплопроводность, спектральные характеристики.

Концентрация носителей заряда в полупроводниках ( $< 10^{13} \text{ см}^{-2}$ ) и полуметаллах ( $10^{18}\text{--}10^{20} \text{ см}^{-2}$ ) существенно меньше, чем в металлах ( $\sim 10^{23} \text{ см}^{-2}$ ). В результате, электронная плазма здесь не столь важна для определения макроскопических свойств тела. Однако, её собственные свойства в полупроводниках и полуметаллах представляют больший интерес, чем в металлах, благодаря разнообразию параметров, определяющих её поведение (концентрация электронов, ширина запрещённой зоны).

Свойства плазменных возбуждений сильно зависят от геометрических параметров системы. В частности, существуют трёхмерные, двумерные, одномерные плазмоны. Кроме того, они могут существовать на границах электронной системы. Такими возбуждениями являются поверхностные плазмонные поляритоны, краевые магнитоплазмоны.

### 1.1.1 Объёмные плазмоны

Обычный плазмон — чисто продольное колебание. В неограниченном образце спектр плазмона — зависимость его частоты  $\omega$  от волнового вектора  $\mathbf{q} = (q_x, q_y, q_z)$  — определяется из дисперсионного уравнения:

$$\varepsilon(\mathbf{q}, \omega) = 0,$$

где  $\varepsilon(\mathbf{q}, \omega)$  — продольная диэлектрическая проницаемость системы.

Рассмотрим простейшую модель плазменных колебаний, в которой электроны движутся относительно однородно заряженного положительного фона (модель “желе”). Пусть электронный газ смещён как целое по отношению к положительному фону. При этом возникает электрическое поле  $E = 4\pi ne^2$ , которое стремится вернуть электроны в положение равновесия. Запишем уравнение движения электрона:

$$nVm \frac{d^2u}{dt^2} = -nVeE = -4\pi Vn^2e^2u,$$

где  $V$  — объём электронного газа,  $n$  — концентрация электронов,  $e$  — заряд электрона,  $m$  — его масса. Уравнение движения можно переписать:

$$\frac{d^2u}{dt^2} + \omega_p^2 u = 0,$$

где

$$\omega_p = \sqrt{\frac{4\pi ne^2}{m}}.$$

Это уравнение описывает колебания с частотой  $\omega_p$ . Частоту  $\omega_p$  называют плазменной частотой.

Если внедрить пробный точечный заряд  $q$  внутрь металла, то концентрация электронов вблизи пробного заряда изменится таким образом, чтобы электрическое поле заряда было в значительной мере скомпенсировано полем, создаваемым возмущением однородности концентрации электронов. Говорят, что пробный заряд экранируется электронным газом. Экранирование характеризуется величиной, называемой длиной экранирования. На расстояниях, меньших этой длины, экранирование проявляется слабо, а на больших расстояниях экранирование становится все более полным. В рамках классической физики, для невырожденной плазмы можно получить выражение для дебаевской длины экранирования:

$$\lambda_D^2 = \frac{k_B T \epsilon_0}{4\pi n e^2},$$

где  $k_B$  — константа Больцмана,  $T$  — температура плазмы,  $\epsilon_0$  — диэлектрическая проницаемость вакуума,  $n$  — концентрация носителей заряда образующих плазмы,  $e$  — их заряд. В вырожденной плазме длина экранирования определяется радиусом Томаса-Ферми:

$$\frac{1}{\lambda} = \sqrt{\frac{6\pi ne^2}{\epsilon_0 E_F}},$$

где  $E_F$  — энергия Ферми электронов. Отклик плазмы на внешнее воздействие зависит от длины волны внешнего воздействия. Отклик плазмы на возмущение с длиной волны меньше длины экранирования ( $\lambda < \lambda_{cr}$ ) определяется одночастичными свойствами, в то время как более длинноволновые возмущения ( $\lambda > \lambda_{cr}$ ) приводят к проявлению коллективных свойств. Можно выделить два основных механизма затухания

плазмонов: столкновительный и бесстолкновительный, известный также как затухание Ландау. Первый объясняется взаимодействием электронов с фононами, дефектами кристаллической решётки, например примесями. Электрическое поле — возвращающая сила, обеспечивающая существование плазменных колебаний, обусловлена согласованным действием большого числа частиц. Рассеяние разрушает это упорядоченное движение и приводит к затуханию плазменных волн. Поэтому плазменных колебаний существуют при условии выполнения неравенства  $\omega_p^{3D}\tau \gg 1$ , где  $\tau$  — время релаксации носителей заряда.

Бесстолкновительное затухание обусловлено распадом плазмона на одночастичные возбуждения (электро-дырочные пары). Найдем область энергий и импульсов, в которой этот процесс возможен. Для этого запишем закон сохранения энергии и импульса. Пусть плазмон с импульсом  $\hbar q$  возбуждает электрон с импульсом  $\hbar k$ , тогда:

$$\frac{\hbar(\mathbf{q} + \mathbf{k})^2}{2m} - \frac{\hbar k^2}{2m} = \hbar\omega_P,$$

откуда получаем:

$$\frac{\hbar^2 \mathbf{q} \cdot \mathbf{k}}{m} + \frac{\hbar^2 q^2}{2m} = \hbar\omega_P.$$

Поскольку импульс электрона  $k$  не превышает импульса Ферми, при малых  $q$  процесс невозможен. Минимальное значение волнового вектора плазмона  $q$ , начиная с которого можно удовлетворить законы сохранения энергии и импульса и становится возможным процесс распада плазмона на электрон-дырочную пару равен

$$q_{min} = \omega_P/v_F.$$

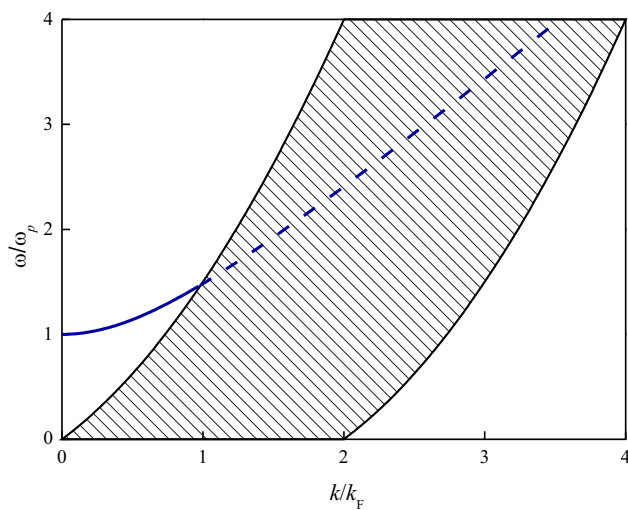


Рис. 1.1: Дисперсионная кривая объёмных плазменных возбуждений. В заштрихованной области плазмоны сильно затухают из-за распада на одночастичные возбуждения.

На Рисунке 1.1 показан закон дисперсии плазмона и заштрихована область, в которой плазмоны сильно затухают из-за распада на одночастичные возбуждения.

### 1.1.2 Плазмоны в двумерных электронных системах

В двумерном случае спектр плазмонов кардинально отличается от трёхмерного. В пределе больших длин волн ( $q \rightarrow 0$ ) частота плазменных колебаний стремится к нулю. Этот факт легко получить из качественных рассуждений. Создадим флуктуацию плотности электронов в виде периодических (с периодом  $\lambda = 2\pi/q$ ) расположенных плоскостей (объёмный случай) или нитей на плоскости (2D случай). Возникшее электрическое поле, а следовательно, и возвращающая сила, приводящая к плазменным колебаниям, не зависит от  $\lambda$  в первом случае и падает как  $1/\lambda$  во втором. Поэтому квадрат собственной частоты колебаний не зависит от  $q$  в 1-м случае и пропорционален  $q$  во 2-м.

Отклик бесконечной двумерной плазмы на внешнее электромагнитное поле, определяется диэлектрической функцией:

$$\epsilon(q, \omega) = 1 + \frac{2\pi i \sigma_{xx} q}{\omega \epsilon}, \quad (1.1)$$

где  $\epsilon$  — эффективная диэлектрическая проницаемость окружающей двумерную систему среды,  $\sigma_{xx}$  — диагональная компонента тензора проводимости двумерных электронов. В приближении Друде диагональная и недиагональная компоненты тензора проводимости двумерной электронной системы в магнитном поле  $B$  выражаются:

$$\sigma_{xx}(\omega) = \frac{n_s e^2 \tau}{m^*} \frac{1 - i\omega\tau}{(1 - i\omega\tau)^2 + (\omega_c\tau)^2} \quad (1.2)$$

и

$$\sigma_{xy}(\omega) = -\frac{n_s e^2 \tau}{m^*} \frac{\omega_c \tau}{2((1 - i\omega\tau)^2 + (\omega_c\tau)^2)}. \quad (1.3)$$

В этих выражениях:  $n_s$  — двумерная концентрация электронов,  $m^*$  — эффективная масса электронов,  $\omega_c = eB/m^*$  — циклотронная частота. Плазменная частота определяется положением нулей этой диэлектрической функции  $\epsilon(q, \omega)$ . В нулевом магнитном поле  $B = 0$  и в высокочастотном пределе  $\omega\tau \gg 1$ ,  $\omega_P\tau \gg 1$  дисперсия двумерных плазменных волн в электронной системе, окружённой бесконечной средой с диэлектрической проницаемостью равна [10]:

$$\omega_P^2(q) = \frac{2\pi n_s e^2}{m^* \epsilon} q. \quad (1.4)$$

В типичных реальных структурах двумерная электронная система находится в многослойном диэлектрическом окружении. Пусть наша двумерная электронная система находится на границе двух диэлектриков с диэлектрическими проницаемостями  $\epsilon_1$  и  $\epsilon_2$ , с толщинами  $d_1$  и  $d_2$  соответственно (см. рис. 1.1.2). Тогда диэлектрическую проницаемость среды следует заменить на диэлектрическую функцию [12]:

$$\epsilon(q) = \frac{\epsilon_1 \epsilon_1 \tanh qd_1 + \epsilon_0}{2 \epsilon_1 + \epsilon_0 \tanh qd_1} + \frac{\epsilon_2 \epsilon_2 \tanh qd_2 + \epsilon_0}{2 \epsilon_2 + \epsilon_0 \tanh qd_2}. \quad (1.5)$$

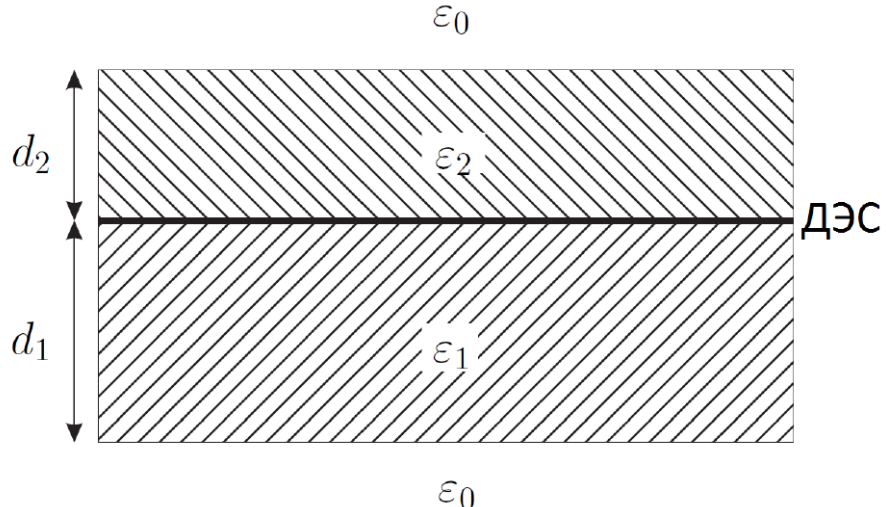


Рис. 1.2: ДЭС находится на границе двух диэлектриков

Рассмотрим наиболее распространённые случаи:

- Если система окружена с обеих сторон полубесконечными диэлектриками ( $d_1 = d_2 = \infty$ ), то диэлектрическая функция равна

$$\epsilon(q) = (\epsilon_1 + \epsilon_2)/2. \quad (1.6)$$

- Двумерная система с одной стороны граничит с полубесконечным диэлектриком  $d_1 = \infty$  с проницаемостью  $\epsilon_1$ , а с другой стороны с диэлектриком с проницаемостью  $\epsilon_2$ , на который напылён металл ( $\epsilon_0 = \infty$ ). Тогда для такой экранированной двумерной электронной системы формула 1.5 превращается в [?]:

$$\epsilon(q) = \frac{\epsilon_1 + \epsilon_2 \coth qd}{2}. \quad (1.7)$$

Если двумерную электронную систему поместить во внешнее перпендикулярное магнитное поле, то в законе дисперсии двумерных плазмонов возникает щель. В рамках модели Друде (из формул 1.2 и 1.4) для магнитоплазмонов имеем:

$$\omega_{mp}(q) = \sqrt{\omega_c^2 + \omega_p^2(q)}. \quad (1.8)$$

Впервые двумерные плазменные волны наблюдались в системе электронов на поверхности жидкого гелия. Электроны удерживались на поверхности гелия с помощью электродов и имели возможность двигаться в плоскости поверхности гелия. Возбуждение плазменных колебаний осуществлялось с помощью СВЧ сигнала, подаваемого на обкладки конденсаторной ячейки, внутри которой находилась поверхность гелия с электронами. Более удобным объектом для исследования двумерных плазмонов оказалась кремниевая МОП-структура [11, 21].

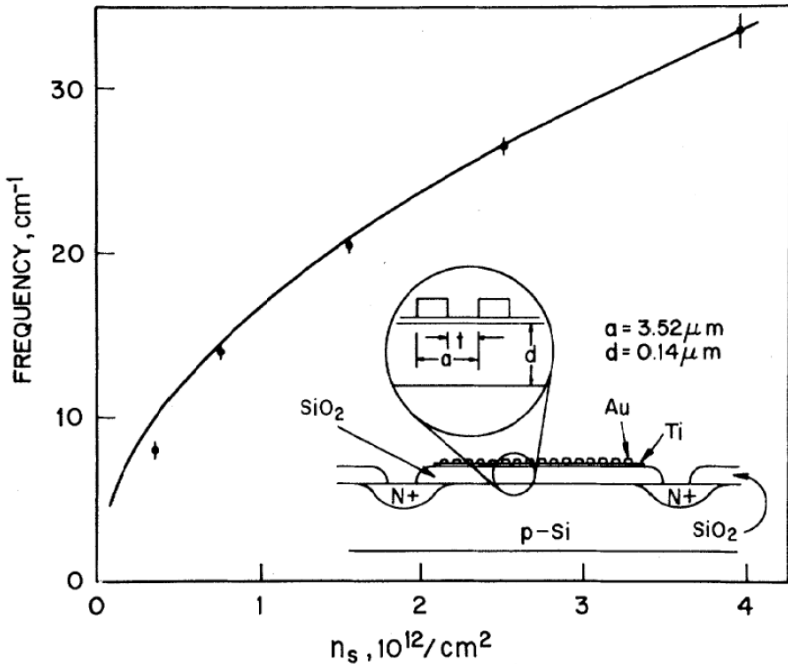


Рис. 1.3: Положение плазменных резонансов, измеренное в зависимости от электронной плотности  $n_s$ . Сплошная линия показывает теоретическую зависимость на основе выражения 1.4. На вставке изображено поперечное сечение МОП-структуры с напылённым решётчатым затвором. (Взято из статьи [11]).

Плазменные волны в электронной системе возбуждались посредством металлического затвора в виде решётки, напылённого на поверхность структуры. Периодическая структура затвора помогала передавать волновой вектор и улучшала связь падающей электромагнитной волны и плазменных возбуждений. На рисунке 1.1.2 отмечено положение плазменных резонансов, измеренное в зависимости от электронной плотности  $n_s$ . Сплошная линия показывает теоретическую зависимость на основе выражения 1.4. Позже двумерные плазмоны были тщательно исследованы в системе двумерных электронов на гетероструктурах AlGaAs/GaAs. Исследования проводились с помощью спектроскопии рамановского рассеяния света [17], поглощения ИК излучения [18]. Двумерные плазмоны были обнаружены также в двумерной дырочной системе инверсионного слоя кремния (100) [19, 20]. Было показано, что дисперсия плазмонов может являться удобным инструментом исследования непарabolичности и анизотропии энергетического спектра носителей. Первые работы по изучению двумерных плазмонов в полупроводниковых структурах были выполнены в дальнем инфракрасном диапазоне и в терагерцовом диапазоне. Это было необходимо для выполнения условия  $\omega_P\tau \gg 1$ . С развитием технологий изготовления, качество структур заметно улучшилось, что привело к увеличению достижимой электронной подвижности на несколько порядков.

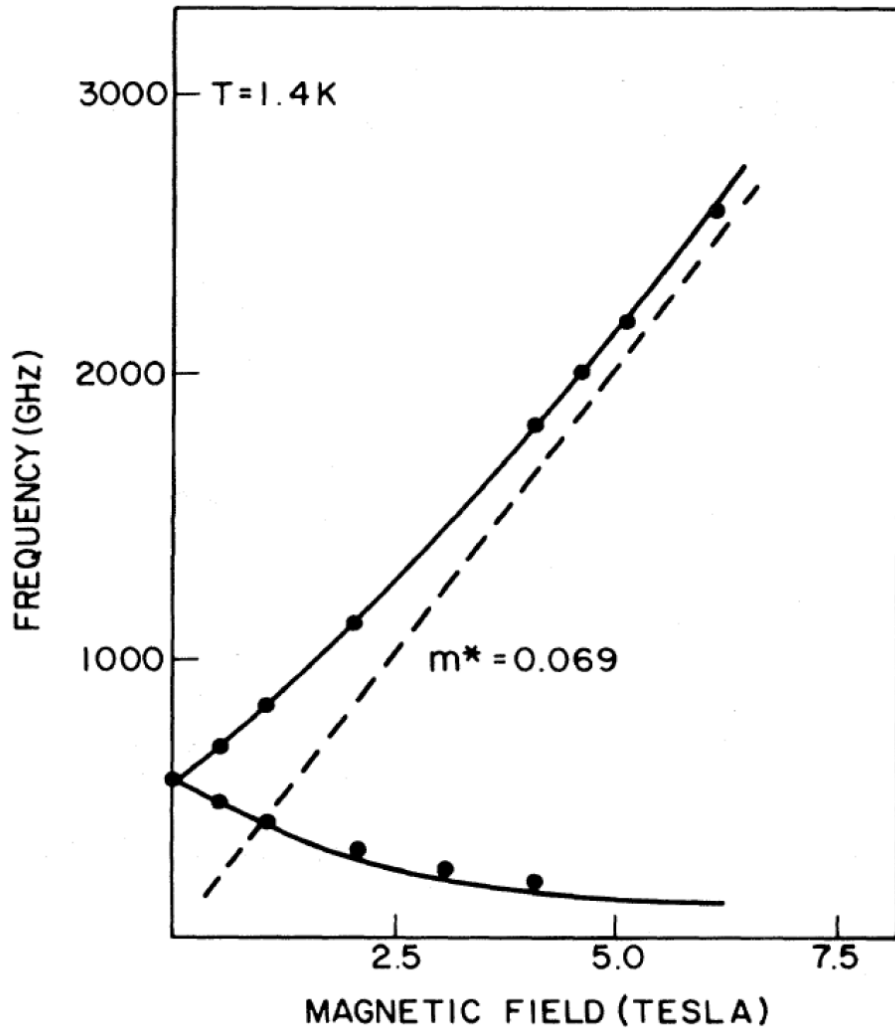


Рис. 1.4: Магнитодисперсия плазмонов в диске диаметров 5 мкм и концентрацией электронов  $5.5 \cdot 10^{11} \text{ см}^{-2}$ . Сплошной линией показана теоретическая зависимость 1.9 (Взято из статьи [22]).

Это открыло возможности наблюдения двумерных плазмонов на гораздо более низких частотах микроволнового диапазона. В ограниченных двумерных электронных системах происходит квантование двумерного волнового вектора плазмона. В эксперименте часто оказывается удобным изучать ДЭС в геометрии диска. Первые исследования плазменных возбуждений в дисках ДЭС были выполнены на структурах AlGaAs/GaAs методом Фурье-спектроскопии [22]. На рисунке 1.1.2 приведена зависимость частоты плазменных возбуждений в диске от магнитного поля. Верхняя по частоте мода, имеющая положительную магнитодисперсию (что согласуется с формулой 1.8) соответствует “объемному” 2D-плазмону, а нижняя ветвь — краевому магнетоплазмону (КМП), свойства которого более подробно рассмотрены в следующем параграфе. В рамках модели с эллиптическим профилем концентрации электронов, частоты плазменных мод в диске

описываются выражением [22]:

$$\omega_{\pm} = \pm \frac{\omega_c}{2} + \sqrt{\omega_P^2 + \left(\frac{\omega_c}{2}\right)^2}, \quad (1.9)$$

где  $d$  — диаметр диска,  $\omega_P$  — плазменная частота в диске в нулевом поле.

Если эффекты запаздывания малы, то плазменная частота в нулевом поле хорошо описывается выражением:

$$\omega_P^2(q) = \frac{2\pi n_s e^2}{m^* \epsilon(q)} q. \quad (1.10)$$

где  $\epsilon(q)$  — эффективная диэлектрическая функция,  $m^*$  — эффективная масса электронов. Экспериментально установлено, что для фундаментальной моды в диске диаметром  $d$ :  $q = 2.4/d$  [29].

### 1.1.3 Краевые магнитоплазмоны

В ограниченных двумерных электронных системах был открыт новый вид коллективных возбуждений электронной плотности, являющийся двумерным аналогом поверхностных магнитоплазмонов [22]. Новые моды получили название краевые магнитоплазмоны (КМП). КМП распространяются вдоль границы ДЭС в направлении определяемом направлением перпендикулярного магнитного поля  $B$ . Они обладают бесщелевым законом дисперсии, который в системах с резким краем, в сильных магнитных полях (когда  $\sigma_{xy} \gg \sigma_{xx}$ ), в длинноволновом пределе  $ql \ll 1$  описывается выражением [27, 29, 30, 69]:

$$\omega_{emp} = \frac{2q\sigma_{xy}}{\epsilon(q)} \ln \frac{2e}{ql},$$

где  $q$  — волновой вектор КМП,  $\epsilon(q)$  — эффективная диэлектрическая проницаемость, отражающая свойства окружения системы. В системе с резким краем величина  $l$  выражается как:

$$l = \frac{2\pi i \sigma_{xx}}{\omega \epsilon(q)}.$$

Как видно из приведённого выражения, в больших магнитных полях локализуется на краю ДЭС. В рамках модели Друде, Формула для дисперсии двумерных плазменных волн в электронной системе, окружённой бесконечной средой с диэлектрической проницаемостью  $\epsilon$ , может быть переписана в легко интерпретируемой форме:

$$l(\omega)|_{\omega \tau \rightarrow \infty, \omega/\omega_c \rightarrow 0} = \frac{2\pi n_s e^2}{m^* \epsilon \omega_c^2} = \frac{e^2 \nu}{\epsilon \hbar \omega_c}$$

где  $\nu$  — число заполненных уровней Ландау. Таким образом  $l$  имеет смысл расстояния, на котором энергия взаимодействия двух электронов становится сравнимой с

циклотронной энергией на первом уровне Ландау. В большинстве случаев логарифмической поправкой можно пренебречь и частота КМП

$$\omega_{emp} \sim n_s q / B$$

### 1.1.4 Спектр магнитоплазменных возбуждений в анизотропном случае

Гамильтониан частицы в магнитном поле  $\mathbf{B}$  в ограничивающем потенциале:  $V(\mathbf{r}) = \frac{m^*}{2}(\Omega_x^2 x^2 + \Omega_y^2 y^2 + \Omega_z^2 z^2)$  записывается следующим образом (калибровка фиксирована):

$$H = \frac{1}{2m^*}(\mathbf{p} - \frac{e}{c}\mathbf{A})^2 + V(\mathbf{r}), \quad \mathbf{A} = \begin{pmatrix} \frac{1}{2}B_y z - B_z y \\ 0 \\ B_x y - \frac{1}{2}B_y x \end{pmatrix}$$

Гамильтониан чисто квадратичен по координатам и импульсам, а значит уравнения движения — линейные. Такая система эквивалентна набору осцилляторов, частоты которых соответствуют собственным частотам такой системы. Такая эквивалентность работает и на квантовом уровне.

Для определения собственных частот можно воспользоваться классическими уравнениями движения (уравнения Гамильтона). Для удобства введём  $\omega_i = \frac{eB_i}{m^*c}$ . Получаем:

$$\begin{cases} \frac{d}{dt}p_x = -\frac{\partial H}{\partial x} &= -\frac{\omega_y}{2}p_z - \frac{m^*\omega_y^2}{4}x + \frac{m^*\omega_x\omega_y}{2}y - m^*\Omega_x^2x \\ \frac{d}{dt}p_y = -\frac{\partial H}{\partial y} &= -\omega_z p_x + \omega_x p_z + \frac{m^*\omega_x\omega_y}{2}x - m^*\omega_x^2y - m^*\omega_z^2y + \frac{m^*\omega_y\omega_z}{2}z - m^*\Omega_y^2y \\ \frac{d}{dt}p_z = -\frac{\partial H}{\partial z} &= \frac{\omega_y}{2}p_x + \frac{m^*\omega_y\omega_z}{2}y - \frac{m\omega_y^2}{4}z - m\Omega_z^2z \\ \frac{d}{dt}x = \frac{\partial H}{\partial p_x} &= \frac{1}{m^*}p_x + \omega_z y - \frac{\omega_y}{2}z \\ \frac{d}{dt}y = \frac{\partial H}{\partial p_y} &= \frac{1}{m^*}p_y \\ \frac{d}{dt}z = \frac{\partial H}{\partial p_z} &= \frac{1}{m^*}p_z + \frac{\omega_y}{2}x - \omega_x y \end{cases}$$

Эта система уравнений может быть записана в матричном виде, если ввести вектор  $\mathbf{X} = (\frac{p_x}{m^*}, \frac{p_y}{m^*}, \frac{p_z}{m^*}, x, y, z)$ ,  $\frac{d}{dt}\mathbf{X} = \hat{A}\mathbf{X}$  и матрица

$$\hat{A} = \begin{pmatrix} 0 & 0 & -\frac{\omega_y}{2} & -\frac{\omega_y^2}{4} - \Omega_x^2 & \frac{\omega_x\omega_y}{2} & 0 \\ -\omega_z & 0 & \omega_x & \frac{\omega_x\omega_y}{2} & -\omega_x^2 - \omega_z^2 - \Omega_y^2 & \frac{\omega_y\omega_z}{2} \\ \frac{\omega_y}{2} & 0 & 0 & 0 & \frac{\omega_y\omega_z}{2} & -\frac{\omega_y^2}{4} - \Omega_z^2 \\ 1 & 0 & 0 & 0 & \omega_z & -\frac{\omega_y}{2} \\ 0 & 1 & 0 & 0 & 0 & 0 \\ 0 & 0 & 1 & \frac{\omega_y}{2} & -\omega_x & 0 \end{pmatrix}$$

Если теперь  $\mathbf{X}_i$  — собственный вектор матрицы  $\hat{A}$  с собственным числом  $\lambda_i = -i\omega_i$ , то уравнение записывается как  $\frac{d}{dt}\mathbf{X}_i = -i\omega_i\mathbf{X}_i \Rightarrow \mathbf{X}_i(t) = \mathbf{X}_i e^{-i\omega_i t}$ . Таким образом,

собственные частоты выражаются через собственные числа матрицы  $\hat{A}$ . Характеристический многочлен такой матрицы имеет вид:

$$P(-i\omega) = \det(\hat{A} + i\omega\hat{I}) \equiv (\Omega_x^2 - \omega^2)(\Omega_y^2 - \omega^2)(\Omega_z^2 - \omega^2) - \omega_x^2(\Omega_x^2 - \omega^2)\omega^2 - \omega_y^2(\Omega_y^2 - \omega^2)\omega^2 - \omega_z^2(\Omega_z^2 - \omega^2)\omega^2$$

Значит, собственные частоты удовлетворяют бикубическому уравнению  $P(-i\omega) \equiv 0$ .

Пусть поле направлено только вдоль оси  $z$ , тем самым  $\omega_x = \omega_y = 0$  и  $\omega_z = \omega_c$ . Тогда, искомое уравнение на собственные частоты записывается согласно:

$$(\Omega_x^2 - \omega^2)(\Omega_y^2 - \omega^2)(\Omega_z^2 - \omega^2) - \omega_c^2(\Omega_z^2 - \omega^2)\omega^2 = 0$$

У этого уравнения есть тривиальный корень  $\omega_3^2 = \Omega_z^2$ ; на оставшиеся пишется квадратное уравнение:

$$(\Omega_x^2 - \omega^2)(\Omega_y^2 - \omega^2) - \omega_c^2\omega^2 = 0 \Rightarrow \omega^4 - \omega^2(\Omega_x^2 + \Omega_y^2 + \omega_c^2) + \Omega_x^2\Omega_y^2 = 0$$

$$\omega_{1,2}^2 = \frac{1}{2}(\Omega_x^2 + \Omega_y^2 + \omega_c^2 \pm \sqrt{(\Omega_x^2 + \Omega_y^2 + \omega_c^2)^2 - 4\Omega_x^2\Omega_y^2}) = \frac{1}{4}(\sqrt{(\Omega_x + \Omega_y)^2 + \omega_c^2} \pm \sqrt{(\Omega_x - \Omega_y)^2 + \omega_c^2})^2$$

Последнее равенство может быть проверено непосредственным вычислением.

## 1.2 Двумерные электронные системы на основе AlAs

Прогресс в технологии роста структур привёл к увеличению электронной подвижности на несколько порядков. Это дало возможность исследовать плазмоны при более низких частотах микроволнового диапазона.

Как было упомянуто во вступлении, объёмный AlAs имеет минимумы энергетических зон в  $X$  — точках зоны Бриллюэна, поверхность Ферми представляет собой эллипсоиды вдоль основных кристаллографических направлений (Рисунок 1.5). Электроны обладают большой и анизотропной эффективной массы ( $m_{tr} = (0.20 \pm 0.02)m_0$  — для поперечного и  $m_l = (1.1 \pm 0.1)m_0$  — для поперечного направления, где  $m_0$  — масса свободного электрона) по сравнению с более лёгкой и изотропной массой электронов в GaAs [23]. Эффективный фактор Ланде электронов в объёмном AlAs ( $g^* = 2$ ) также много больше по величине и обратно по знаку чем в GaAs ( $g^* = -0.44$ ). Более того, электроны занимают несколько долин в зоне проводимости. Эти основные характеристики отличают ДЭС в квантовых ямах AlAs от GaAs и приводят к новым явлениям, которые будут обсуждаться в следующих главах.

Стоит также отметить, что зонная структура AlAs имеют сходство с Si. Главное отличие, однако, заключается в том, что в Si имеется шесть эллипсоидов, расположенные вокруг шести эквивалентных точек вдоль  $\Delta$ -линии зоны Бриллюэна, по сравнению с

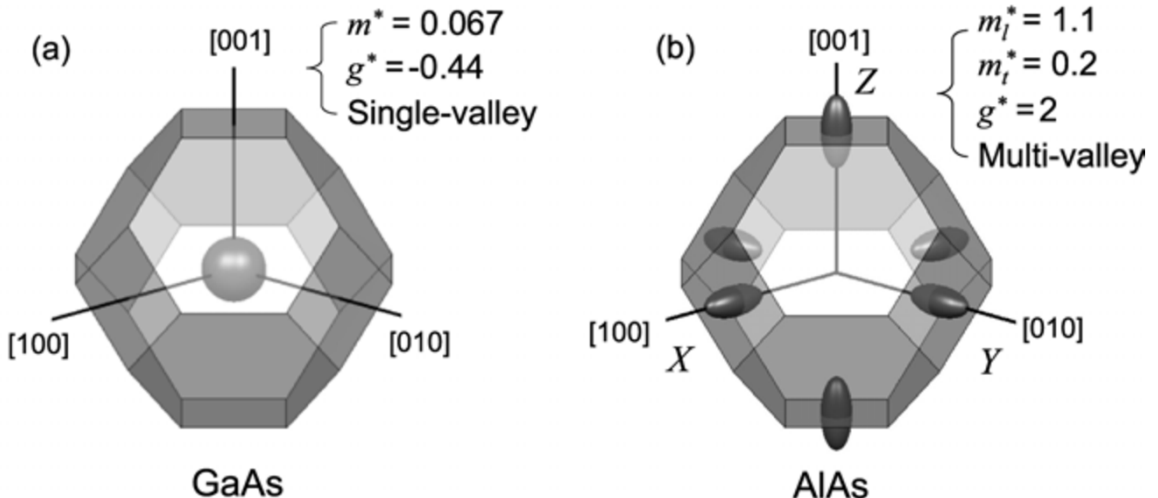


Рис. 1.5: Схематическое изображение зоны Бриллюэна и поверхности постоянных энергий на нижайших зонах для (a) объемного GaAs и (b) объемного AlAs [6].

тремя эллипсоидами (шесть полу-эллипсоидов) в  $X$  точке в AlAs. Долины определены так, что  $X$ ,  $Y$  и  $Z$  соответствуют основным осям вдоль [100], [010], и [001] направлений соответственно. Второе важное отличие состоит в том, что долины заняты по-разному, когда система переходит к двумерной квантовой яме. Когда движение электронов квантовано в направление [001] кремниевых МОП-транзистора или Si/SiGe гетероструктурах, это приводит к заполнению только двух  $Z$  —долин, главные оси эллипсоидов которых направлены перпендикулярно плоскости, благодаря тому, что большей эффективной массе соответствует меньшая энергия электронов. В случае с AlAs, выращенных на подложке GaAs вдоль направления (001),  $Z([001])$  долины заполняются только для квантовых ям с шириной меньше чем 5 nm. В противоположном случае, двуосное сжатие слоя AlAs, из-за различия параметров решётки AlAs и GaAs, приводит к тому, что только  $X$  и  $Y$  долины с главными осями, лежащие в плоскости, будут заняты.

Большие величины масс также позволяют изучать эффекты электрон-электронного взаимодействия при больших параметрах  $r_s$ . Зная массы вдоль основных направлений, можно оценить этот параметр для AlAs:

**Кинетическая энергия** Закон дисперсии имеет вид:

$$\epsilon(p) = \frac{p_x^2}{2m_1} + \frac{p_y^2}{2m_2}$$

Уровень Ферми — поверхность постоянной энергии  $\epsilon(p) = \epsilon_F$  — представляет собой эллипс с полуосями  $p_1 = \sqrt{2m_1\epsilon_F}$  и  $p_2 = \sqrt{2m_2\epsilon_F}$ . Тогда площадь этого эллипса определяет концентрацию; кроме того, нужно домножить на 2 (в силу спинового вырождения) и ещё на 2 (в силу вырождения по долинам):

$$n_{2D} = 4 \frac{p_1 p_2}{(2\pi\hbar)^2} = \frac{2\sqrt{m_1 m_2} \epsilon_F}{\pi^2 \hbar^2} \Rightarrow \epsilon_F = \frac{\pi^2 \hbar^2 n_{2D}}{2\sqrt{m_1 m_2}}$$

**Кулоновская энергия** При концентрации частиц  $n_{2D}$ , характерное расстояние между ними равно  $\pi r^2 = n_{2D}^{-1} \Rightarrow r = \sqrt{\frac{1}{\pi n_{2D}}}$ . Поэтому типичная кулоновская энергия:

$$E_C \approx \frac{e^2}{\epsilon r} = \frac{\pi^{1/2} n_{2D}^{1/2} e^2}{\epsilon}$$

**Параметр взаимодействия** Тогда имеет место следующая оценка  $r_s$ , как отношение характерной Кулоновской энергии к характерной кинетической:

$$r_s = \frac{E_C}{\epsilon_F} = \frac{2}{\pi^{3/2}} \frac{e^2 \sqrt{m_1 m_2}}{\hbar^2 n_{2D}^{1/2}}$$

Используя известные значения масс  $m_1 = 1.1m_0$ ,  $m_2 = 0.2m_0$ , а также значение концентрации  $n_{2D} = 2 \cdot 10^{11} \text{ см}^{-2}$ , мы получаем оценку  $r_s \approx 7.5$ .

Альтернативное определение  $r_s$  представляет собой отношение типичного расстояния между электронами к Боровскому радиусу. Эта оценка соответствует:

$$r_s = \frac{r}{a_B} \approx \frac{e^2 \sqrt{m_1 m_2}}{\pi^{1/2} n_{2D}^{1/2} \hbar^2} = \frac{\pi}{4} \cdot \frac{E_C}{\epsilon_F} \approx 6$$

## **2. Постановка задачи**

Основными целями и задачами данной работы, которые представляют фундаментальный интерес, являются:

- исследование спектра плазменных и магнитоплазменных возбуждений в системе сильно анизотропных фермионов в квантовых ямах AlAs;
- определение значений эффективных масс вдоль основных кристаллографических направлений;
- изучение влияния внешней деформации на спектр магнитоплазменных возбуждений.

Методологическая часть работы заключалась:

- в изучение технологии изготовления образцов;
- в разработки методики исследования спектра магнитоплазменных возбуждений при приложении внешней механической деформации на образец.

### 3. Методика измерения и образцы

#### 3.1 Образцы

Измерения проводились на квантовых ямах AlAs с шириной 15 нм. Высококачественные структуры, выращенные на нелегированной подложке GaAs вдоль кристаллографического направления [001], были получены при помощи молекулярно-лучевой эпигексии (MBE). Используемые в экспериментах шайбы гетероструктур были выращены в Max Planck Institut für Festkörperforschung (Stuttgart, Germany).

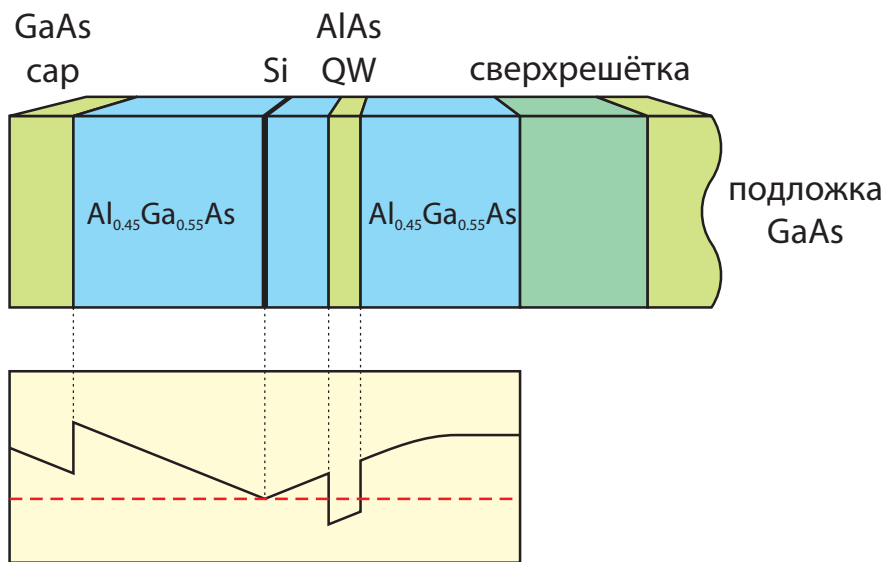
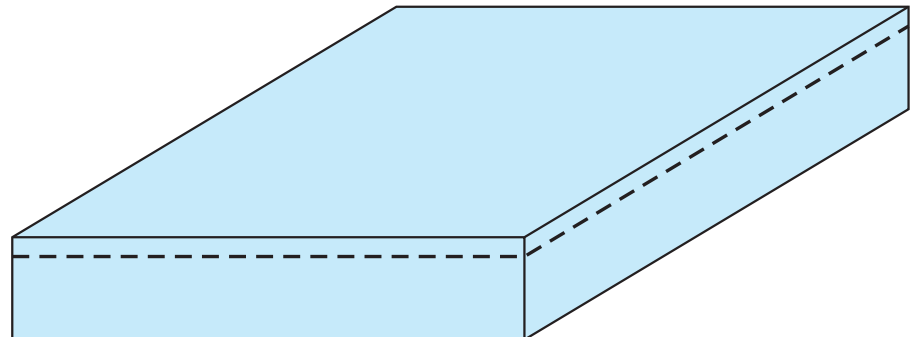


Рис. 3.1: Последовательность слоёв и энергетическая диаграмма гетероструктуры. При температуре  $T = 0$  К все уровни ниже энергии Ферми  $E_f$  заняты.

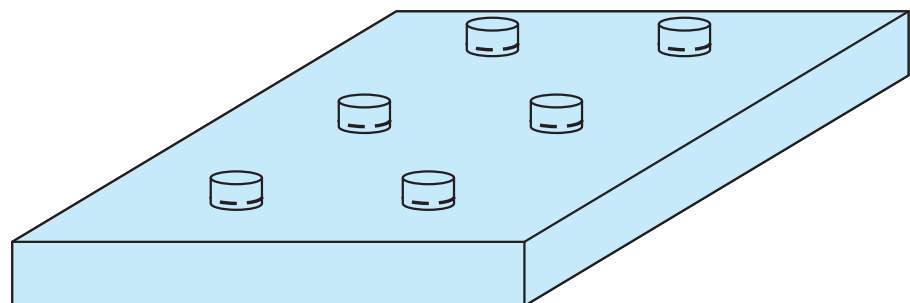
На рисунке 3.1 показаны последовательность слоёв и энергетическая диаграмма исследуемой структуры. GaAs cap — верхний слой структуры, защищающий от окисления нижележащие слои. Квантовая яма AlAs ограничена барьерами AlGaAs с донорющим слоем Si.

Электронная концентрация  $n_s$  и подвижность  $\mu$  варьировались в пределах  $1.7 \times 10^{11} - 2.4 \times 10^{11} \text{ cm}^{-2}$  и  $1.2 \times 10^5 - 2.0 \times 10^5 \text{ cm}^2/(\text{V}\cdot\text{s})$ . Изменение электронной плотности достигалось с помощью короткой подсветки зелёным светодиодом (2.2 eV) при температуре  $T = 1.6$  K.

### 1. Чистка подложки



### 2. Формирование мезы



### 3. Нанесение металлизации

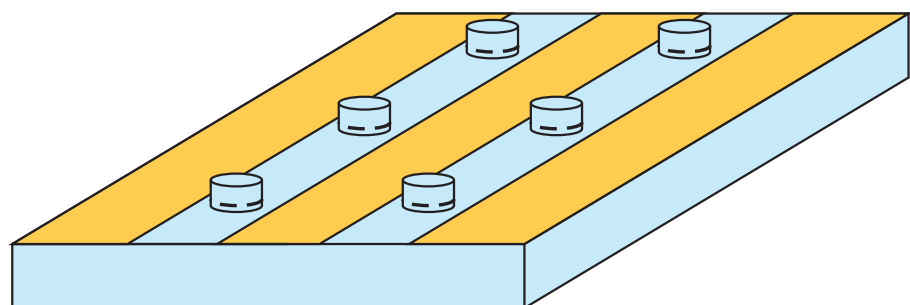


Рис. 3.2: Фотолитографические этапы изготовления структуры.

Образцы были изготовлены из шайб в чистой комнате Института физики твёрдого тела (класс чистоты — ISO 5), при помощи стандартной техники фотолитографии.

Процесс фотолитографии состоит из нескольких основных этапов. Последовательность основных этапов проиллюстрирована на Рисунке 3.2:

1. В первую очередь происходила ультразвуковая чистка поверхности образца в ацетоне, затем остатки ацетона смывались в чистом пропаноле.
2. Формирование мезы — с помощью центрифуги образец покрывался фоторезистом AZ 5214 E (при скорости вращения 6000 грм в течение 30 секунд — соответствующая толщина фоторезиста  $1.14 \mu\text{m}$ ); затем резист сушился на горячей плитке при температуре  $90^\circ\text{C}$  в течение 4 min. Экспонирование производилось через стеклянный шаблон с металлической маской на установке совмещения SUSS MicroTec MJB4. В качестве проявителя использовался AZ 726 MIF. Далее происходило формирование мезы при помощи жидкостного травления в растворе  $\text{H}_2\text{SO}_4\text{--H}_2\text{O}_2\text{--H}_2\text{O}$  (соотношение 1 : 8 : 400). Травление происходило при комнатной температуре, скорость травления составляла  $\sim 100 \text{ nm/min}$ .
3. Следующим этапом было формирование металлических площадок на поверхности образца. Фоторезист AZ 5214 E, используемый в качестве негативного, нагревался на плитке при температуре  $120^\circ\text{C}$  в течение 80 секунд. После проявления фоторезиста, производилось напыление металлической пленки в установке KJLC NANO 38 под давлением  $\sim 10^{-6} \text{ mBar}$ . Для создания микрополосковой линии последовательно напылялись слои Cr и Au, с толщинами 24 nm и 130 nm соответственно. Cr использовался для улучшения адгезии между золотом и подложкой.

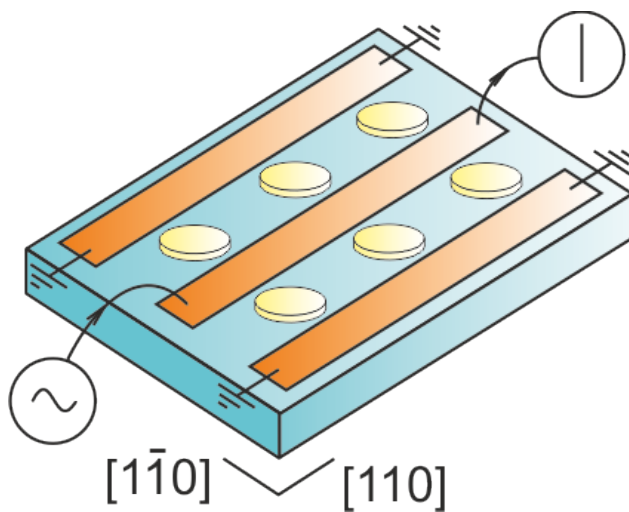


Рис. 3.3: Схематическое изображение образца.

Образец представлял собой копланарный волновод (CPW). Центральный проводник с шириной 1.1 mm располагался на расстояние 0.6 mm от двух заземлённых пластин

(Рисунок 3.3). Общая длина составляла 4 mm. Параметры волновода были выбраны таким образом для достижения волнового сопротивления  $Z_0 = 50 \Omega$ . В щелях копланарного волновода располагались шесть равноудалённых дисков с ДЭС, диаметром  $d = 0.5 \text{ mm}$ . Центры дисков находились на расстояние 1.5 mm друг от друга для устранения интерференции между ними. Стрелками обозначены основные кристаллографические направления.

## 3.2 Методика измерений

Экспериментальное исследование магнитоплазменных возбуждений двумерной электронной системы осуществлялось при помощи методики детектирования резонансного поглощения микроволнового излучения, проходящего через копланарный волновод, в диапазоне  $f = 1 - 40 \text{ GHz}$ . Электрическое поле, возникающее в щелях компланара приводит к осцилляциям двумерной плазмы в дисках. Резонансное поглощение возникает, когда плазмон возбуждается в системе.

Для измерений образец был вмонтирован в держатель при помощи резинованного клея. Контакт между металлическими пластинками образца и контактными площадками держателя был выполнен при помощи ультразвуковой микросварки алюминиевой нитью с диаметром 50  $\mu\text{m}$ . Держатель представляет собой пластину, на которой размещены два разъёма SMP, служащие одновременно для передачи СВЧ-излучения и крепления держателя в низкотемпературной вставке. На Рисунке 3.4 показана фотография держателя с вмонтированным в него образцом. Держатель закреплялся на концах  $50 \Omega$  коаксиальных кабелей, которые располагаются внутри низкотемпературной вставки для погружения в гелиевый криостат.

В криостате образец располагался в центре сверхпроводящего соленоида, который подключался к источнику тока, позволяющему создавать магнитные поля с индуктивностью до 8 Т. Направление магнитного поля было перпендикулярно плоскости образца. Вставка позволяла при помощи откачки Не-4 достигать температуры 1.5 К. Основные результаты данной работы были получены по результатам исследования магнитополевых зависимостей пропускания образцов.

Генератор Agilent E8257D использовался в качестве источника микроволнового излучения, выходная мощность не превышала 100 nW. Детекторы Herotec DTA1-1880A и Herotec DTA264080A применялись для детектирования СВЧ-сигнала на выходе из вставки. Выходной сигнал измерялся при помощи синхротронного усилителя Stanford Research Systems SR-830D, с модулирующим синусоидальным сигналом порядка 2 kHz.

Схема измерительной установки показана на Рисунке 3.5.



Рис. 3.4: Держатель с вмонтированным на нём образцом, а также держатель, закреплённый на конце низкотемпературной вставки.

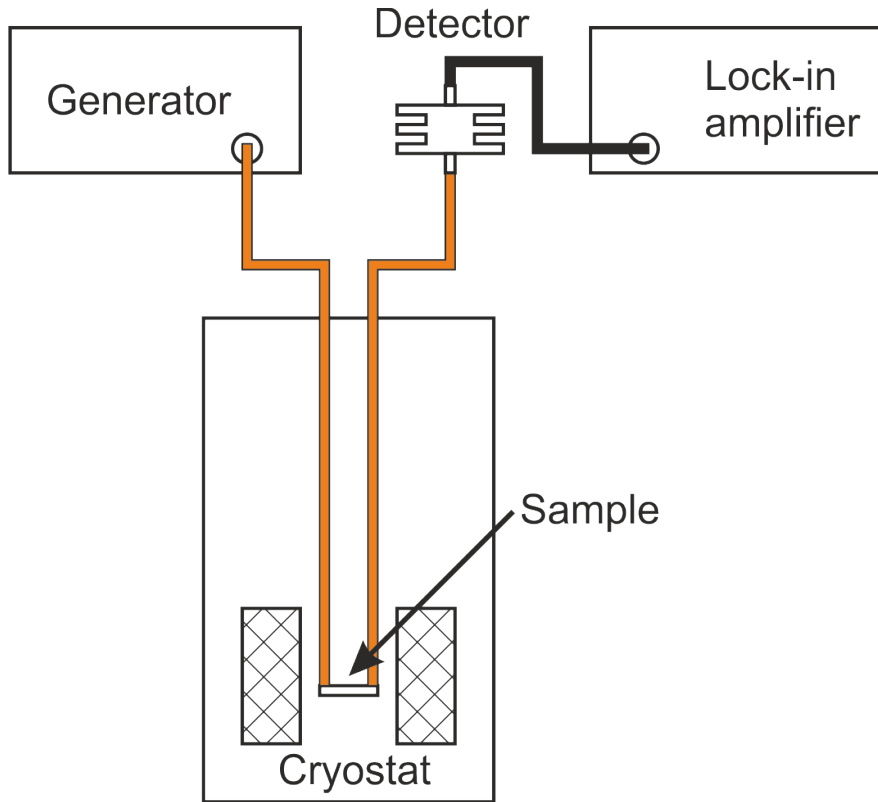


Рис. 3.5: Схема измерительной установки.

### 3.3 Копланарная техника детектирования плазменных возбуждений

Для изучения СВЧ отклика ДЭС в данной работе использовалась копланарная методика. В данной методике измерялось прохождение СВЧ сигнала через копланарный волновод, сформированный на поверхности подложки. Поглощение сигнала в волноводе обусловлено разогревом ДЭС при резонансном возбуждении плазменных колебаний.

Копланарный волновод, является одной из разновидностей микрополосковой линии. Он представляет собой нанесённый на поверхность GaAs подложки толщиной  $h$  центральный проводник шириной  $2a$ , находящийся между двумя широкими заземлёнными плоскими электродами, нанесёнными на ту же поверхность (расстояние между заземлёнными электродами  $2b$ ). Основной модой, распространяющейся в таком волноводе, является квази-TEM-мода. В TEM-моде электрическое и магнитное поле направлены перпендикулярно оси копланарного волновода. Эта мода характеризуется отсутствием дисперсии и независимостью характеристического импеданса от частоты, что позволяет обеспечить широкополосное согласование волновода с подводящим трактом.

Распространение электромагнитной волны в длинной линии описывается уравнением:

$$\frac{d^2U(x)}{dx^2} - \gamma^2 U(x) = 0, \quad (3.1)$$

$$\gamma = \sqrt{(R + i\omega L)(G + i\omega C)} = \alpha + i\beta, \quad (3.2)$$

где  $R, L, G, C$  — сопротивление, индуктивность, проводимость и ёмкость на единицу длины линии,  $\omega$  — круговая частота сигнала, *гамма* — постоянная распространения. Характеристический импеданс линии определяется как отношение напряжения к току:

$$Z_0 = \frac{U}{I} = \sqrt{\frac{R + i\omega L}{G + i\omega C}}. \quad (3.3)$$

В случае хорошо проводящих электродов ( $R = 0$ ) и малой проводимости подложки ( $G \ll \omega C$ ):

$$Z_0 \approx \sqrt{\frac{L}{C}}, \quad \gamma = \sqrt{i\omega L(G + i\omega C)} \approx i\omega\sqrt{LC} + \frac{GZ_0}{2}. \quad (3.4)$$

Действительная часть постоянной распространения  $\alpha = GZ_0/2$  определяет затухание сигнала в линии. Фазовая скорость волны в линии равна

$$v_{ph} = \frac{\omega}{\beta} = \frac{1}{\sqrt{LC}}. \quad (3.5)$$

Таким образом,

$$Z_0 = \frac{1}{v_{ph}C}. \quad (3.6)$$

Фазовая скорость определяется выражением:

$$v_{ph} = \frac{c}{\sqrt{\epsilon_{eff}}}, \quad \epsilon_{eff} = \frac{C}{C_{air}}, \quad (3.7)$$

где  $\epsilon_{eff}$  — эффективная диэлектрическая проницаемость,  $C_{air}$  — ёмкость линии на единицу длины без учёта наличия диэлектрика. В соответствии с [?]:

$$C_{air} = 4\epsilon \frac{K(k_0)}{K(k'_0)}, \quad C = 2\epsilon_0(\epsilon - 1) \frac{K(k_1)}{K(k'_1)} + 4\epsilon_0 \frac{K(k_0)}{K(k'_0)}, \quad (3.8)$$

$$\epsilon_{eff} = 1 + \frac{\epsilon - 1}{2} \frac{K(k_1)}{K(k'_1)} \frac{K(k'_0)}{K(k_0)}. \quad (3.9)$$

И, в итоге, получаем импеданс линии:

$$Z_0 = \frac{1}{cC_{air}\sqrt{\epsilon_{eff}}} = \frac{30\pi}{\sqrt{\epsilon_{eff}}} \frac{K(k'_0)}{K(k_0)}. \quad (3.10)$$

В вышеприведённых выражениях

$$k_0 = a/b, \quad k'_0 = \sqrt{1 - k_0^2},$$

$$k_1 = \frac{\sinh\left(\frac{\pi a}{2h}\right)}{\sinh\left(\frac{\pi a}{2h}\right)}, \quad k'_1 = \sqrt{1 - k_1^2},$$

а  $K$  — полный нормальный эллиптический интеграл Лежандра первого рода:

$$K(k) = \int_0^{\pi/2} \frac{d\varphi}{\sqrt{1 - k^2 \sin^2 \varphi}}. \quad (3.11)$$

Для приближённого вычисления можно пользоваться формулой

$$\frac{K(k)}{K(k')} = \begin{cases} \frac{\pi}{\ln\left(2\frac{1+\sqrt{k'}}{1-\sqrt{k'}}\right)}, & 0 \leq k^2 \leq 0.5 \\ \frac{1}{\pi}\ln\left(2\frac{1+\sqrt{k}}{1-\sqrt{k}}\right), & 0.5 \leq k^2 \leq 1 \end{cases}. \quad (3.12)$$

Геометрические параметры копланарного волновода подбирались таким образом, чтобы характеристический импеданс составлял  $Z_0 = 50$  Ом для согласования с подводящими коаксиальными кабелями. В щелях копланарного волновода располагался массив дисков, содержащих ДЭС. При резонансном возбуждении плазменных колебаний в ДЭС происходит поглощение энергии электромагнитного поля волновода, что приводит к уменьшению пропускания волновода, которое измеряется в эксперименте.

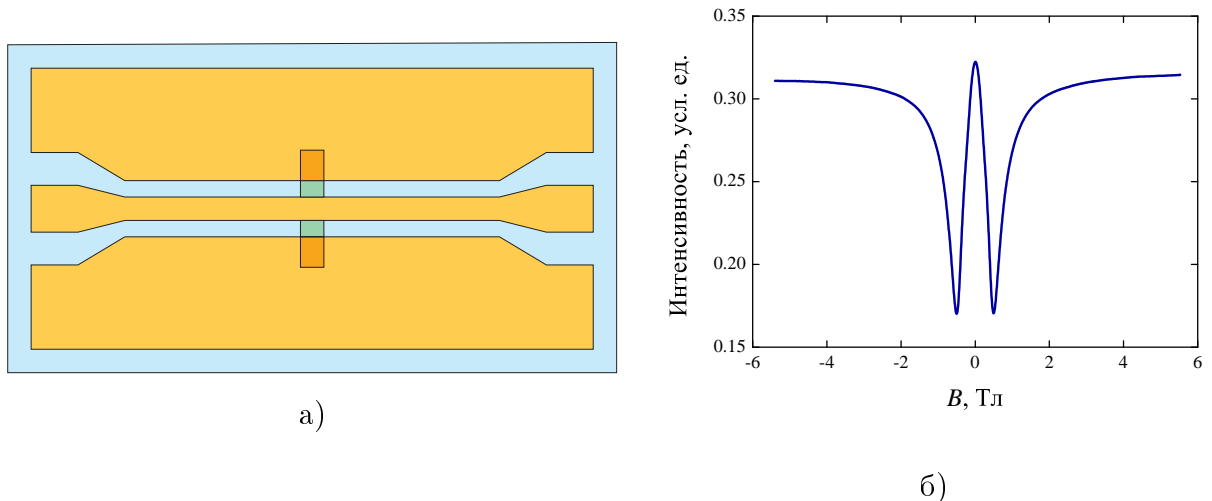


Рис. 3.6: а) Схематическое изображение образца, используемого в копланарной методике; б) Пример экспериментальной зависимости прохождения СВЧ-сигнала между затворами от магнитного поля в данной методике, на которой видны симметричные относительно нулевого магнитного поля резонансы.

При возбуждении плазменных колебаний в ДЭС пропускание копланарного волновода изменяется в результате интерференции электромагнитного поля волновода с электромагнитным полем плазменного возбуждения. В результате на графике зависимости пропускания электромагнитного излучения через копланарный волновод от величины магнитного поля появляются характерные резонансы. Пример экспериментального графика приведён на рисунке 3.6 б).

## 4. Магнитоплазменные возбуждения двумерных анизотропных фермионов в квантовых ямах AlAs

На Рисунке 4.1 продемонстрированы магнитополевые зависимости пропускания копланарного волновода (КВ) для нескольких частот. Стрелкой показан расположение уровня сигнала, когда СВЧ-излучение не подаётся в КВ. На каждой кривой видны характерные минимумы при определённых значениях магнитных полей, симметричные по полю, соответствующие возбуждению плазмонов в системе. Для частот ниже 9 GHz положение резонансов смещается в сторону меньших магнитных полей с увеличением частоты  $f$  (“отрицательная магнитодисперсия”), что является признаком краевого магнитоплазмона. Для частот выше 15 GHz, возникает второй плазменный резонанс (вставка на Рисунке 4.1), который демонстрирует положительную магнитодисперсию, характерную для объёмного магнитоплазмона.

Рисунок 4.2(a) и Рисунок 4.2(b) демонстрируют магнитополевые зависимости пропускания КВ для серии частот  $f$ , соответствующих краевому магнитоплазмону, распространяющегося вдоль края дисков, при двух различных концентрациях. Данные на Рисунке 4.2(a) были получены для электронной концентрации  $n_s = 1.7 \times 10^{11} \text{ cm}^{-2}$  (до засветки), и Рисунок 4.2(b) для  $n_s = 2.4 \times 10^{11} \text{ cm}^{-2}$  (После засветки). На кривых хорошо видно, что резонансы смещаются к меньшим магнитным полям по мере увеличения частоты.

Была построена зависимость положения резонансного магнитного поля от частоты как показано на Рис. 4.2. Данные были получены для электронной плотности  $1.7 \times 10^{11} \text{ см}^{-2}$ . Магнитодисперсионная зависимость имеет две ветви, разделённые щелью в нулевом магнитном поле. Низкочастотная ветвь соответствует краевому магнитоплазмону, распространяющемуся вдоль края диска. Эта мода, обладающая аномально слабым затуханием, распространяется в узкой полосе около края ДЭС [25, 22]. Частота краевого магнитоплазмона в пределе большого магнитного поля уменьшается согласно выражению  $\omega_- \approx \sigma_{xy}q \propto n_sq/B$ . Высокочастотная ветвь имеет положительную магнитодисперсию. Электрическое поле  $\vec{E}$ , направленное вдоль кристаллографического направления  $[1\bar{1}0]$  (Рисунок 4.1), может быть разложено на две компоненты вдоль осей

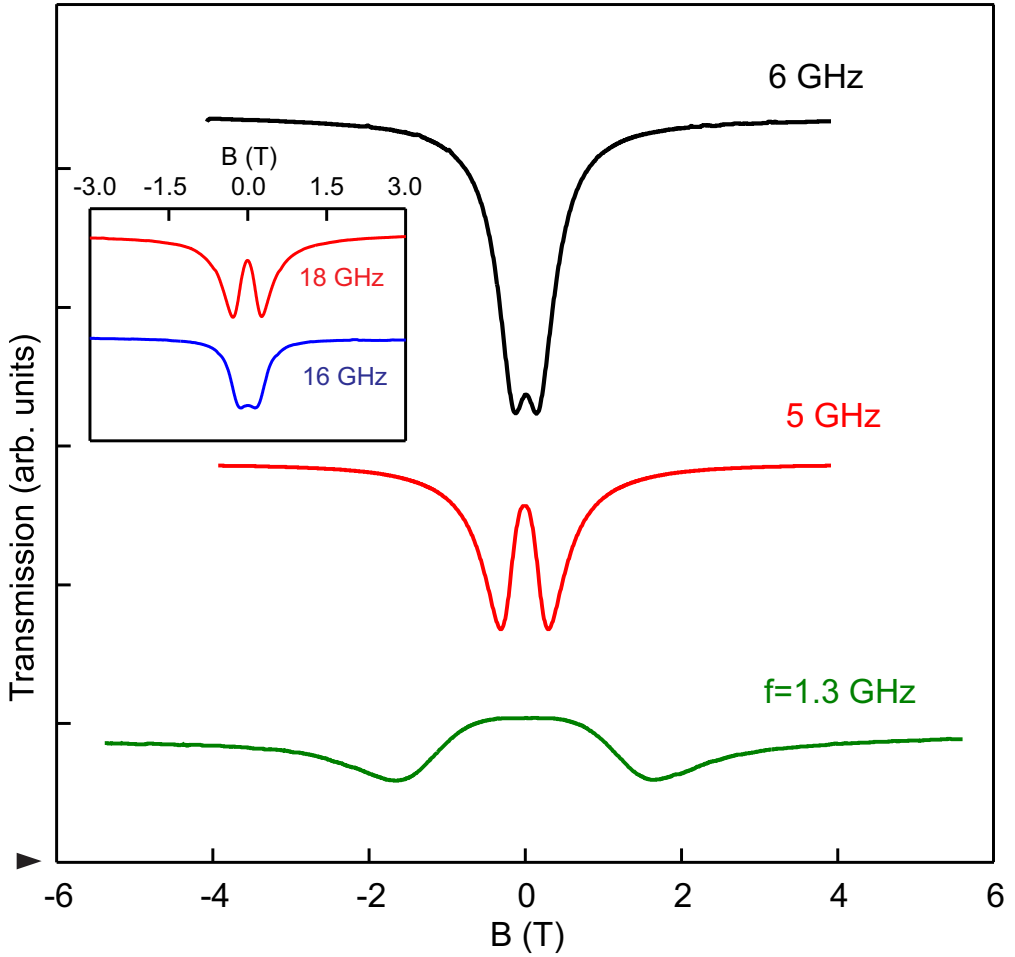


Рис. 4.1: Магнитополевые зависимости пропускания копланарный волновода на частотах 1.3 GHz, 5 GHz, and 6 GHz. На каждой кривой хорошо видны резонансы, соответствующие краевому магнитоплазмону. На вставке показано пропускание КВ для 16 GHz и 18 GHz. Резонансы демонстрируют позитивную магнитодисперсию, свойственную циклотронной моде. Электронная концентрация в экспериментах была  $n_s = 1.7 \times 10^{11} \text{ cm}^{-2}$  при температуре  $T = 1.5 \text{ K}$ .

эллипсоида Ферми  $\vec{E} = \vec{E}_l + \vec{E}_{tr}$ . В пределе  $B = 0$  Тл каждая из этих компонент возбуждает отдельную плазменную волну с соответствующей массой  $m_l$  и  $m_{tr}$ . Следовательно, щель в спектре магнитоплазменных колебаний наглядно демонстрирует сильно анизотропную природу поверхности Ферми в ДЭС в AlAs [26, 15]. Для сравнения, аналогичные измерения были проведены на геометрически идентичном образце, содержащем квантовую яму GaAs ( $d = 0.5$  мм,  $n_s = 1.4 \times 10^{11} \text{ см}^{-2}$ ). Вставка на Рисунке 4.2 показывает, что в магнитном поле  $B = 0$  Тл краевая и циклотронная магнитоплазменные моды вырождаются, подчёркивая изотропность эффективной массы электронов  $m^* = 0.067m_0$  в GaAs.

Спектр плазменных возбуждений в ДЭС с анизотропной эффективной массой может

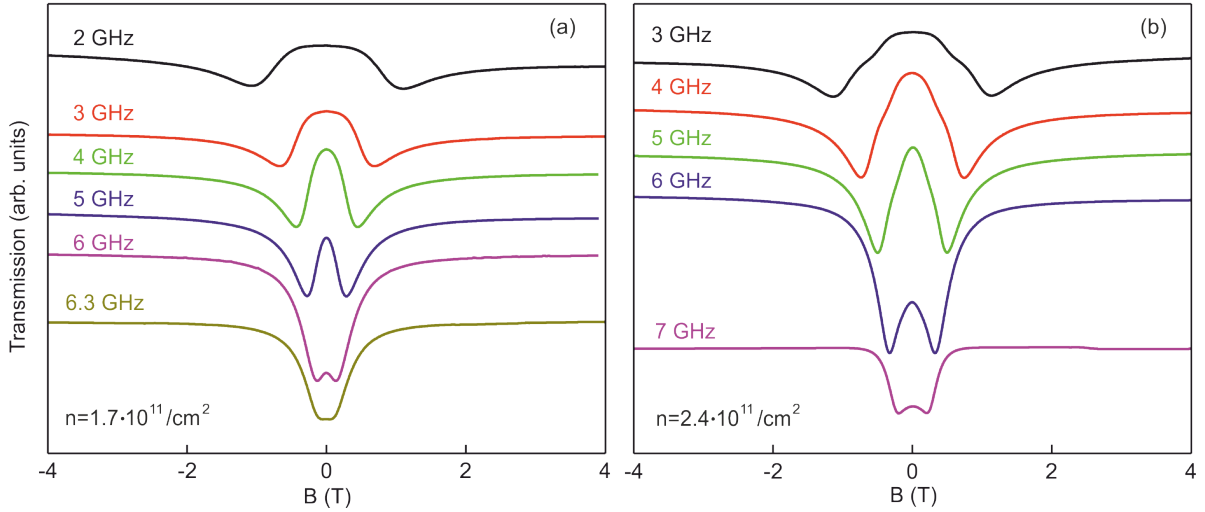


Рис. 4.2: Магнитополевая зависимость пропускания КВ для концентраций (а)  $n_s = 1.7 \times 10^{11} \text{ cm}^{-2}$  и (б)  $n_s = 2.4 \times 10^{11} \text{ cm}^{-2}$  при температуре  $T = 1.5 \text{ K}$ .

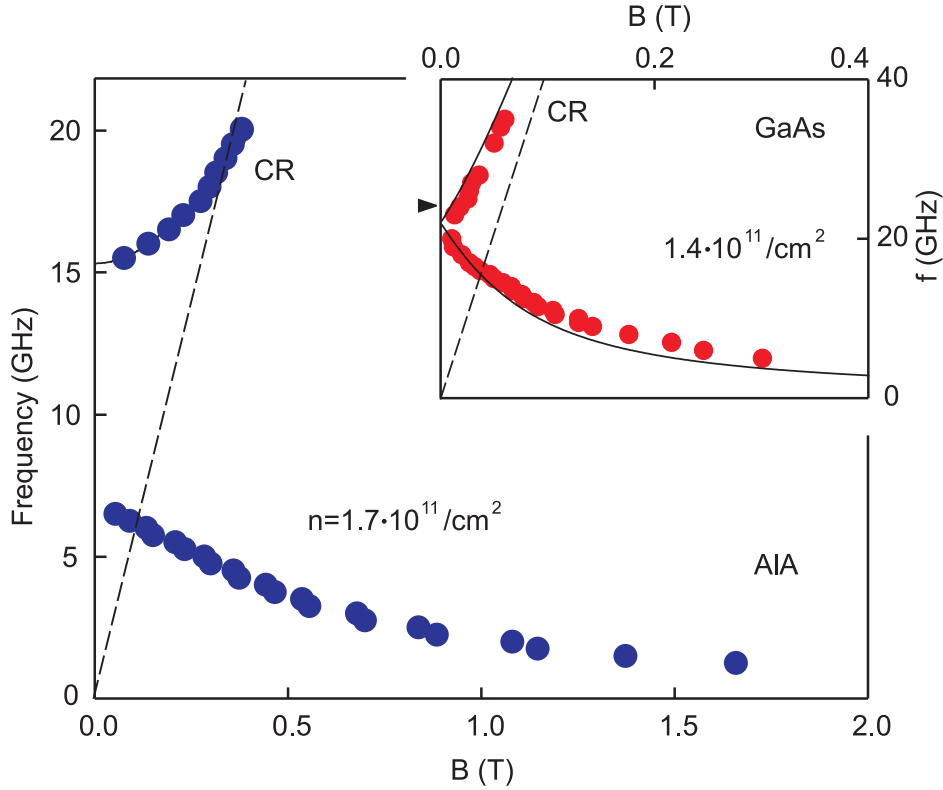


Рис. 4.3: Магнитодисперсия двумерных плазменных возбуждений в дисках AlAs с анизотропными носителями зарядов ( $n_s = 1.7 \times 10^{11} \text{ см}^{-2}$ ). Плазменный спектр содержит две резонансных ветви, разделенных щелью по частоте. На вставке показана дисперсия магнитоплазменных волн в квантовой яме GaAs для электронов с изотропной эффективной массой ( $n_s = 1.4 \times 10^{11} \text{ см}^{-2}$ ). В этом случае щель отсутствует. В обоих случаях использовалась одинаковая геометрия дисков и копланарного волновода.

быть описан следующим образом [26, 27, 28] (см. Раздел 1.1.4):

$$\omega_{l,tr} = \frac{1}{2} \left[ \sqrt{(\Omega_{tr} + \Omega_l)^2 + \omega_c^2} \pm \sqrt{(\Omega_{tr} - \Omega_l)^2 + \omega_c^2} \right], \quad (4.1)$$

где  $\Omega_l$  и  $\Omega_{tr}$  — плазменные частоты вдоль главных кристаллографических направлений при  $B = 0$  Тл,  $\omega_c = eB/m_c$  — циклотронная частота. Циклотронная масса определяется как среднее геометрическое эффективных масс вдоль главных кристаллографических направлений,  $m_c = \sqrt{m_l m_{tr}}$ . Частоты  $\Omega_{l,tr}$  подчиняются дисперсии двумерных плазмонов [10]:

$$\Omega_{l,tr}^2 = \frac{n_s e^2}{2m_{l,tr}\varepsilon_0\varepsilon^*} q, \quad (4.2)$$

где  $\varepsilon^* = (\varepsilon_{GaAs} + 1)/2$  — эффективная диэлектрическая проницаемость окружающей среды,  $q = 2.4/d$  — волновой вектор в геометрии диска [29]. Полученные в данной работе экспериментальные значения плазменных частот в нулевом магнитном поле:  $\Omega_l = (6.5 \pm 0.2)$  ГГц и  $\Omega_{tr} = (15.3 \pm 0.5)$  ГГц. С помощью Уравнения (4.2) находятся эффективные массы электронов в квантовой яме AlAs вдоль главных кристаллографических направлений:  $m_l = (1.10 \pm 0.05)m_0$  and  $m_{tr} = (0.20 \pm 0.01)m_0$ . Эти значения масс согласуются с более ранними косвенными измерениями [6].

На рисунке 4.4(а) показано микроволновое пропускание копланарного волновода как функция магнитного поля для одного и того же образца при значениях электронной плотности  $1.7 \times 10^{11} \text{ см}^{-2}$  и  $2.4 \times 10^{11} \text{ см}^{-2}$ . Электронная плотность менялась при помощи кратковременного освещения светодиодом. Магнитоплазменный резонанс сдвигается в большие магнитные поля при увеличении электронной концентрации. Однако, плазменные частоты в нулевом магнитном поле, найденные из магнитодисперсионной кривой при  $n_s = 2.4 \times 10^{11} \text{ см}^{-2}$ , имеют отношение  $\Omega_{tr}/\Omega_l = (1.80 \pm 0.05)$ . Это число не соответствует Уравнению 4.2, которое предсказывает  $\Omega_{tr}/\Omega_l = \sqrt{m_l/m_{tr}} = (2.3 \pm 0.1)$ . Это означает, что динамика плазмы испытывает качественные изменения при изменении электронной плотности.

Нами была предложена интерпретация полученного результата, согласно которому, наблюдаемое явление объясняется энергетическим расщеплением между долинами X и Y. В самом деле, остаточное напряжение в плоскости снимает вырождение долин X и Y, приводя к междолинному энергетическому расщеплению  $\Delta E$  (Рисунок 4.1). Для ДЭС с  $n_s = 1.7 \times 10^{11} \text{ см}^{-2}$  было обнаружено, что все электроны занимают только долину X, оставляя долину Y пустой. При увеличении концентрации, электроны начинают заполнять долину Y (Рисунок 4.4(б)). В этом случае общая концентрация определяется как  $n_s = n_x + n_y$ , где  $n_x$  и  $n_y$  — концентрации носителей заряда в долинах X и Y соответственно. Коллективные плазменные возбуждения в такой системе могут быть рассмотрены с привлечением модели двухкомпонентной анизотропной плазмы [30]. Плазменные частоты вдоль направлений [100] и [010] описываются следующими выражениями:

$$\Omega_{[100]}^2 = \frac{e^2 q}{2\varepsilon_0\varepsilon^*} \left( \frac{n_x}{m_l} + \frac{n_y}{m_{tr}} \right), \quad (4.3)$$

$$\Omega_{[010]}^2 = \frac{e^2 q}{2\varepsilon_0\varepsilon^*} \left( \frac{n_x}{m_{tr}} + \frac{n_y}{m_l} \right). \quad (4.4)$$

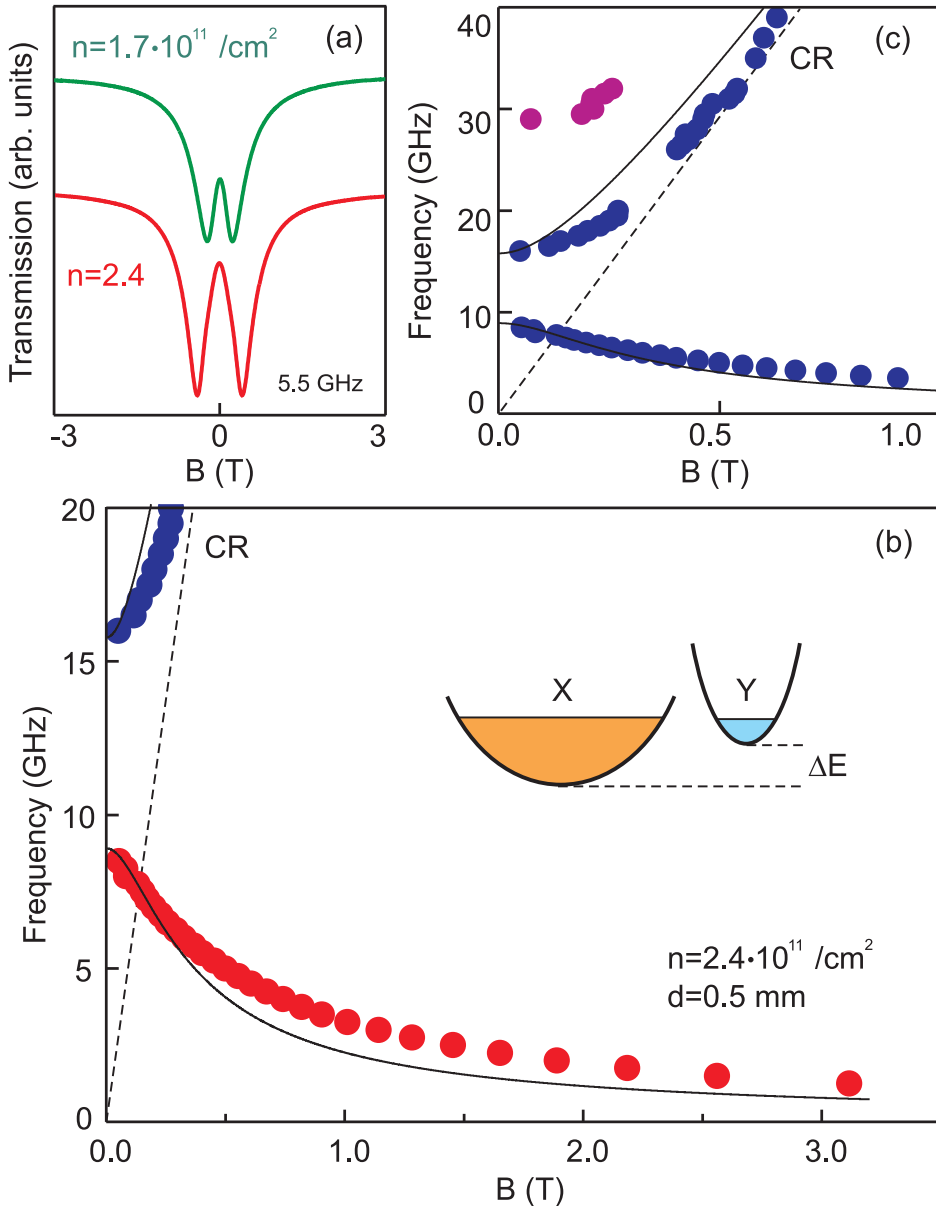


Рис. 4.4: (а) Магнитополевые зависимости пропускания копланарного волновода на частоте  $f = 5.5 \text{ ГГц}$  для двух значений электронной плотности в ДЭС. (б) Дисперсия двухмерных магнитоплазменных возбуждений в квантовой яме AlAs при  $n_s = 2.4 \times 10^{11} \text{ см}^{-2}$ . Сплошная линия является теоретическим предсказанием согласно Уравнению (4.1). Схематический рисунок электронного спектра при  $n_s = 2.4 \times 10^{11} \text{ см}^{-2}$ . При такой концентрации начинает заполняться долина Y. (с) Расширенная магнитодисперсия плазменных мод.

Используя эти выражения с полученными значениями частот  $\Omega_{[100]}, \Omega_{[010]}$  и масс  $m_l, m_{tr}$ , были получены значения концентрации  $n_x$  и  $n_y$  в каждой из долин:  $n_x = (2.10 \pm 0.05) \times 10^{11} \text{ см}^{-2}$  и  $n_y = (0.30 \pm 0.05) \times 10^{11} \text{ см}^{-2}$ . Междолинное энергетическое расщепление  $\Delta E$  может быть прямо получено из разности концентраций  $\Delta n = n_x - n_y$  с использованием двумерной плотности состояний.

Число электронов и двумерная концентрация в одной долине:

$$N = 2 \cdot \frac{\pi p_x p_y S}{(2\pi\hbar)^2} \Rightarrow n = \frac{N}{S} = \frac{p_x p_y}{2\pi\hbar^2},$$

где  $p_x$  и  $p_y$  — величины полуосей эллипса, образующего поверхность Ферми в пространстве квазимпульсов. С учётом того, что массы  $m_x$  и  $m_y$  в двух направлениях различны:

$$E_F = \frac{p_x^2}{2m_x} = \frac{p_y^2}{2m_y} \Rightarrow \begin{cases} p_x &= \sqrt{2m_x E_F}, \\ p_y &= \sqrt{2m_y E_F}, \end{cases}$$

получаем выражение для концентрации электронов в одной долине:

$$n = \frac{\sqrt{2m_x E_F} \cdot \sqrt{2m_y E_F}}{2\pi\hbar^2} = \frac{\sqrt{m_x m_y} E_F}{\pi\hbar^2}.$$

Отсюда можно выразить энергию Ферми, отсчитанную от дна долины:

$$E_F = \frac{\pi\hbar^2 n}{\sqrt{m_x m_y}}.$$

Таким образом, получаем энергии Ферми для двух долин:

$$\begin{aligned} E_{F_1} &= \frac{\pi\hbar^2 n_1}{\sqrt{m_x m_y}}, \\ E_{F_2} &= \frac{\pi\hbar^2 n_2}{\sqrt{m_x m_y}}. \end{aligned}$$

Поскольку уровень Ферми в обеих долинах находится на одном уровне, то энергетический сдвиг между долинами можно определить следующим образом:

$$\Delta E = E_{F_1} - E_{F_2} = \frac{\pi\hbar^2(n_1 - n_2)}{\sqrt{m_x m_y}} = \frac{\pi\hbar^2 \Delta n}{\sqrt{m_x m_y}}.$$

Это вычисление даёт значение  $\Delta E = (0.90 \pm 0.05)$  мэВ, которое согласуется с предыдущими исследованиями междолинного расщепления в AlAs [3, 4, 5].

# **5. Исследование спектра магнитоплазменных возбуждений при изменение заселенности долин посредством механической деформа- ции**

Для эксперимента в настоящей главе была воспроизведена методика, разработанная ранее [4, 6]. В ней внешняя механическая деформация прикладывалась в плоскости образца при низких температурах для изменения населённостей  $X$  и  $Y$  долин и энергии междолинного расщепления  $\Delta E$ . Целью данной работы являлось исследование спектра магнитоплазменных возбуждений анизотропных фермионов в зависимости от заселенности долин.

В данной методике сточенный образец (толщина  $250 \mu\text{m}$ ) был приклешен при помощи двухкомпонентного эпоксидного клея к пьезоактуатору Piezo Stack Actuator PSt 150hTc/5x5/7, активная длина которого составляла 7 мм (Рисунок 5.1). Направление сжатия/растяжения пьезоактуатора совпадало с кристаллографическим направлением [010]. Приложении внешнего напряжения  $V_p$  пьезоактуатор растягивался (сжимался) вдоль этого направления при  $V_p > 0$  ( $V_p < 0$ ).

Как было упомянуто в Главах 1 и 4, разница в значениях постоянной решётки между AlAs и GaAs, для структур выращенных в направление (001), приводит к возникновению внутриплоскостной деформации, вследствие которой кристалл сжат в направление [100] и растянут в направление [010]. Из-за этого  $X$ -долина лежит ниже по энергии по сравнению с  $Y$ -долиной. Прикладывая отрицательное напряжение на пьезоактуатор, образец будет сжиматься вдоль направления [010] и растягиваться вдоль [100], тем самым уменьшая сжатие вдоль этого направления и сокращая расстояние между двумя долинами.

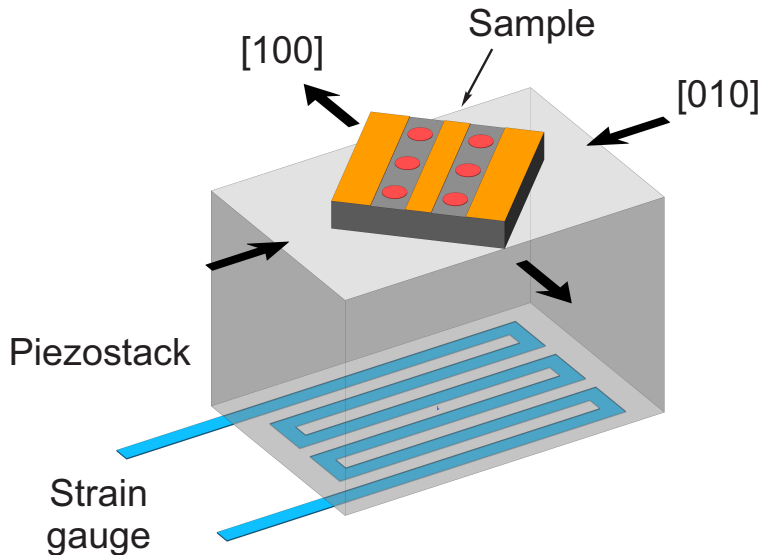


Рис. 5.1: Схематический вид пьезоактуатора с наклеенными на противоположные стороны образцом и резистивным тензодатчиком. Кристаллографические направления показаны стрелками.

## 5.1 Калиброка пьезоактуатора

Прежде всего, для того, чтобы продемонстрировать, что деформация полностью передаётся в образец при низких температурах, была проведена калибровка пьезоактуатора. В измерениях использовался тот же Piezo Stack Actuator PSt 150hTc/5x5/7. Для характеристизации деформации был использован резистивный тензодатчик (SG), приклейенный с помощью двухкомпонентного эпоксидного клея на противоположную от образца боковую грань пьезоактуатора (Рисунок 5.1) вдоль направления его растяжения/сжатия. Зависимости между деформацией и подаваемым напряжением измерялись при комнатной, азотной и гелиевой температурах.

Измерения деформации были проведены при помощи мостовой схемы, показанной на Рисунке 5.2. В плечах моста симметрично располагались резисторы и тензометрические датчики с одинаковым номинальным сопротивлением 120  $\Omega$ . На мостовую схему подавалось напряжение  $V_{in}$  с синхронного детектора Lock-in Amplifier, и на нем же измерялось выходное напряжение  $V_{out}$  с плеча схемы.

Для данной схемы запишем уравнения Кирхгофа:

$$I_1 = \frac{V_{in}}{R_1 + R_2}, \quad I_2 = \frac{V_{in}}{R_3 + R_4}, \quad (5.1)$$

$$I_1 R_2 = \frac{V_{in} R_2}{R_1 + R_2}, \quad I_2 R_3 = \frac{V_{in} R_3}{R_3 + R_4} \quad (5.2)$$

Из них следует, что:

$$V_{out} = \frac{R_1 R_3 - R_2 R_4}{(R_1 + R_2)(R_3 + R_4)} * V_{in} \quad (5.3)$$

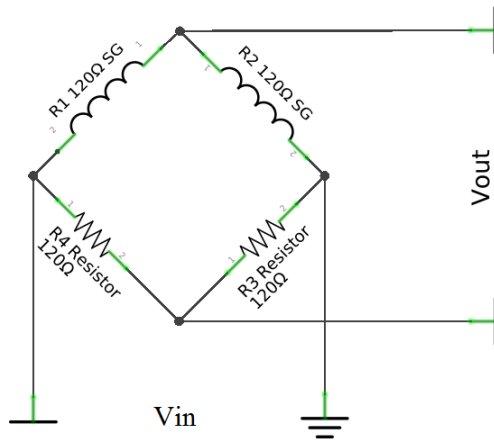


Рис. 5.2: Схематическое изображение мостовой схемы измерений.

Сопротивления каждого элемента в цепи номинально одинаковые  $R = R_1 = R_2 = R_3 = R_4$ . Прикладывая напряжение на пьезоактуатор, изменяются сопротивления тензометрических датчиков (SG). С понижением температуры до азотной и гелиевой, сопротивления начинают рассогласовываться. Представив сопротивление в виде  $R + \Delta R$ , где  $\Delta R$  - изменение сопротивления элементов схемы, предыдущий результат может быть переписан в виде ( $\Delta R \ll R$ ):

$$\Delta V_{out} = \frac{\Delta R}{4R + 2\Delta R} * V_{in} \quad (5.4)$$

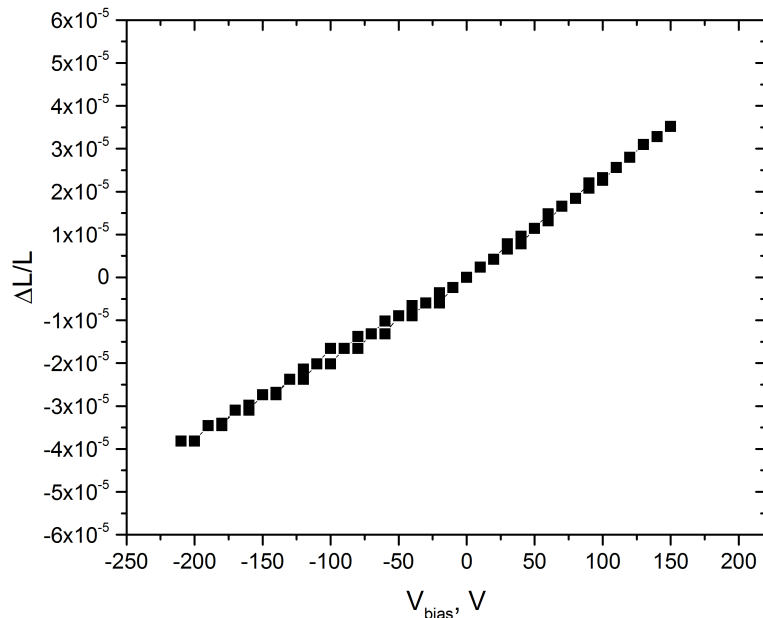


Рис. 5.3: Зависимость между деформацией пьезоактуатора и напряжением, подаваемым на него.

Учитывая, что  $\epsilon = \frac{\Delta L}{L} = \frac{\Delta R}{R} \frac{1}{k}$ , где  $k$ - калибровочный множитель, перепишем:

$$\Delta V_{out} = \frac{V_{in} k \epsilon}{4} \quad (5.5)$$

$$\epsilon = \frac{4 \Delta V_{out}}{V_{in} k} \quad (5.6)$$

При  $k = 2$ ,  $\epsilon = \frac{2 \Delta V_{out}}{V_{in}}$ . Измерения показали при 4,2 К измеряемая деформация показывает линейную зависимость от напряжения, подаваемого на пьезоактуатор.

## 5.2 Результаты измерений

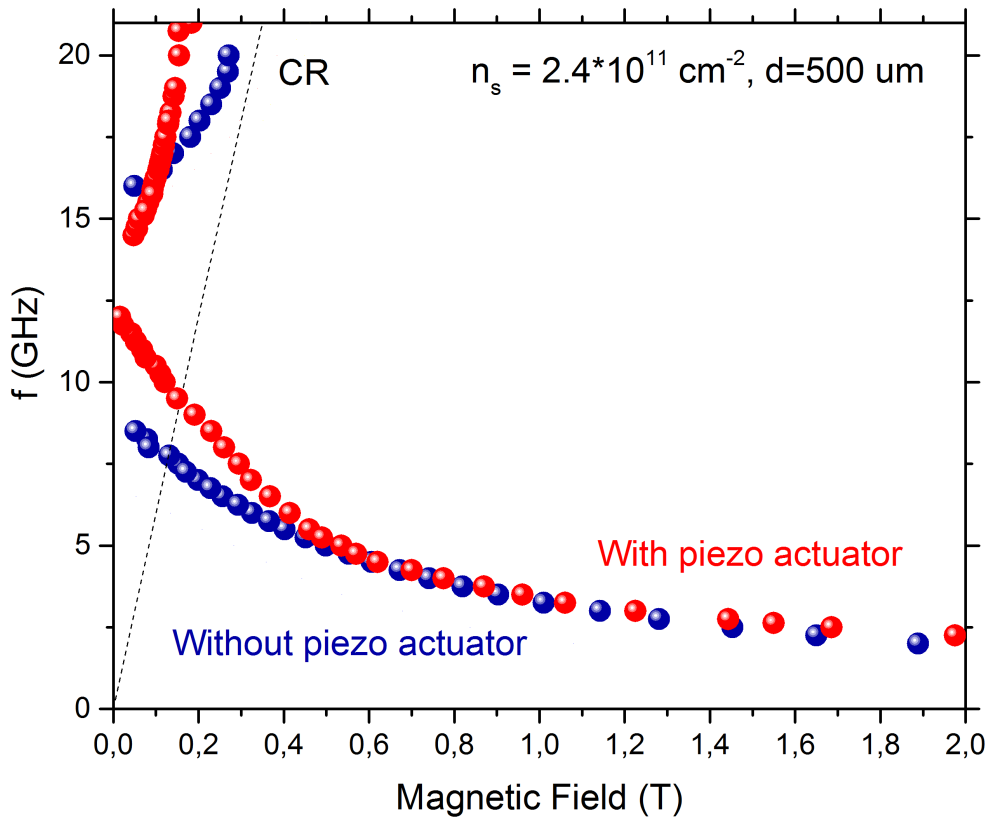


Рис. 5.4: Магнитодисперсия двумерных плазменных возбуждений в дисках AlAs ( $n_s = 2.4 \times 10^{11} \text{ cm}^{-2}$ ). Синие точки демонстрируют результаты для измерений со сточенным образцом, наклеенным на пьезостак и находящимся под деформацией, при нулевом приложенном напряжении на пьезоактуатор; красные - для эксперимента с образцом без деформации.

Рисунок 5.4 демонстрирует спектр магнитоплазменных возбуждений для сточенного образца, наклеенного на пьезоактуатор (красные точки). Данные были получены

при электронной концентрации  $2.4 \times 10^{11} \text{ cm}^{-2}$ . Для сравнения, результаты предыдущих измерений ( $n_s = 2.4 \times 10^{11} \text{ cm}^{-2}$ ) без актуатора также представлены на графике (синие точки). Сравнительные графики магнитополевой зависимости пропускания КВ для двух частот 8 GHz и 17.5 GHz, соответствующих краевому и циклотронному магнитоплазмону, для обоих случаев представлены на Рисунках 5.5 и 5.6 соответственно.

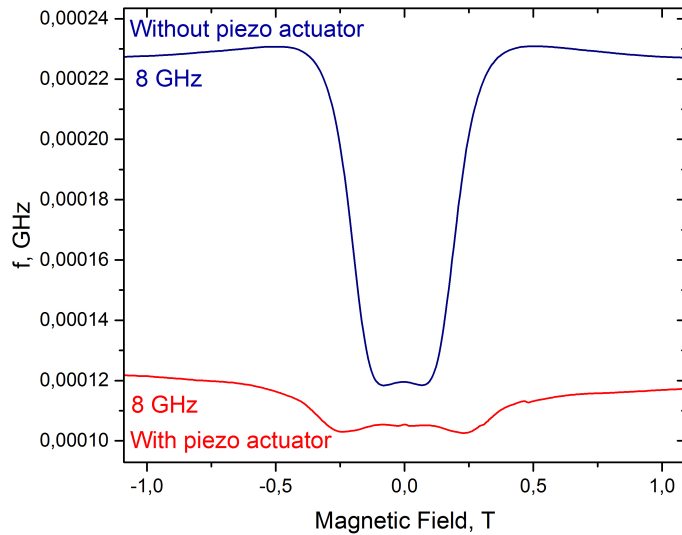


Рис. 5.5: Магнитополевые зависимости пропускания КВ для краевой моды при концентрации  $n_s = 2.4 \times 10^{11} \text{ cm}^{-2}$  и частоте 8 GHz для измерений с пьезоактуатором (красная кривая) и без (синяя кривая)

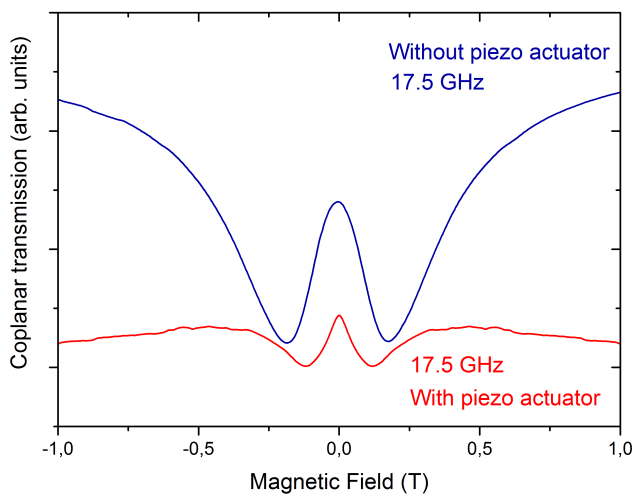


Рис. 5.6: Магнитополевые зависимости пропускания КВ для циклотронной моды при концентрации  $n_s = 2.4 \times 10^{11} \text{ cm}^{-2}$  и частоте 17.5 GHz для измерений с пьезоактуатором (красная кривая) и без (синяя кривая)

В магнитодисперсии, для эксперимента с приложенной деформацией на образец, снова видны две ветви, разделённые щелью. Однако, расстояние между плазменными частотами в нулевом магнитном поле существенно изменилось. Объяснение данного явления заключается в том, что из-за разницы в коэффициенте линейного расширения образца и пьезоактуатора во время охлаждения, образец испытывает деформацию на сжатие при нулевом приложенном напряжение на пьезоактуаторе в направление [010]. Это является живым доказательством того, что, посредством механической деформации, долины выровнялись по энергии и щель, как непосредственное проявление анизотропии, сильно сужается; увеличение концентрации электронов в  $Y$ -долине приводит к сдвигу положения плазменных частот в нулевом магнитном поле. В обоих экспериментах, с деформацией и без неё, концентрация носителей заряда была одинаковая  $n_s = 2.4 \times 10^{11} \text{ cm}^{-2}$ , об этом свидетельствует тот факт, что в пределе больших магнитных полей краевые моды выходят на одну и ту же асимптотику, так как частота краевого магнитоплазмона в пределе сильных магнитных полей  $\omega_- \approx \sigma_{xy}q \propto (n_{2D}q)/B$

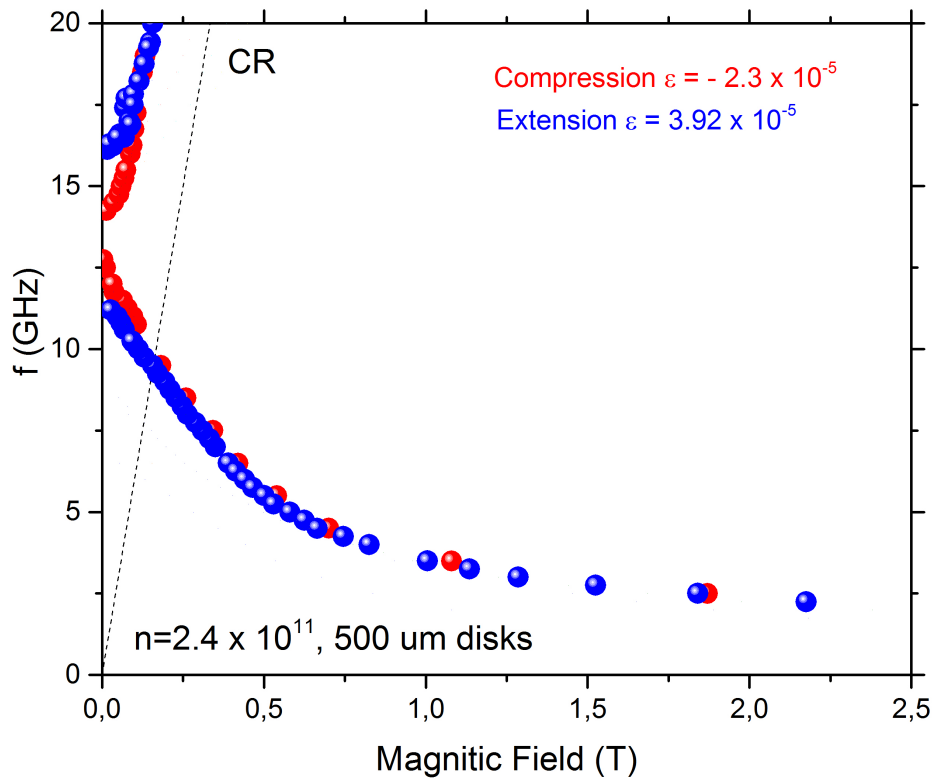


Рис. 5.7: Магнитодисперсия плазменных возбуждений двумерных анизотропных фермионов ( $n_s = 2.4 \times 10^{11} \text{ cm}^{-2}$ ). Синие точки демонстрируют результаты эксперимента, когда образец испытывал деформацию растяжения ( $\epsilon = 3.92 \times 10^{-5}$ ); красные показывают результаты для случая сжатия ( $\epsilon = -2.3 \times 10^{-5}$ ).

Последующие эксперименты показали, что мы можем изменять расстояние между

долинами в большую и меньшую сторону, прикладывая напряжение на пьезоактуатор. Рисунок 5.7 демонстрирует результаты для 2-х разных случаев — сжатие ( $V_p = -100$  V) и растяжение ( $V_p = +200$  V) вдоль направления [010].

На рисунке 5.8 изображена зависимость энергетического междолинного расщепления в AlAs ( $\Delta E$ ) от прикладываемого к кристаллу одноосной деформации ( $\epsilon$ ). Энергия вычислялась на основе полученных плазменных частот в нулевом магнитном поле, процедура подробно описана в конце Главы 4.. Из характера зависимости видно, что при приложенной деформации  $\epsilon = -2.3 \times 10^{-5}$ , достигается минимальное значение междолинного расщепления. При дальнейшем увеличение сжатия происходит ситуация, когда  $X$ -долина проходит положение равновесия и становится выше  $Y$ -долины по энергии.

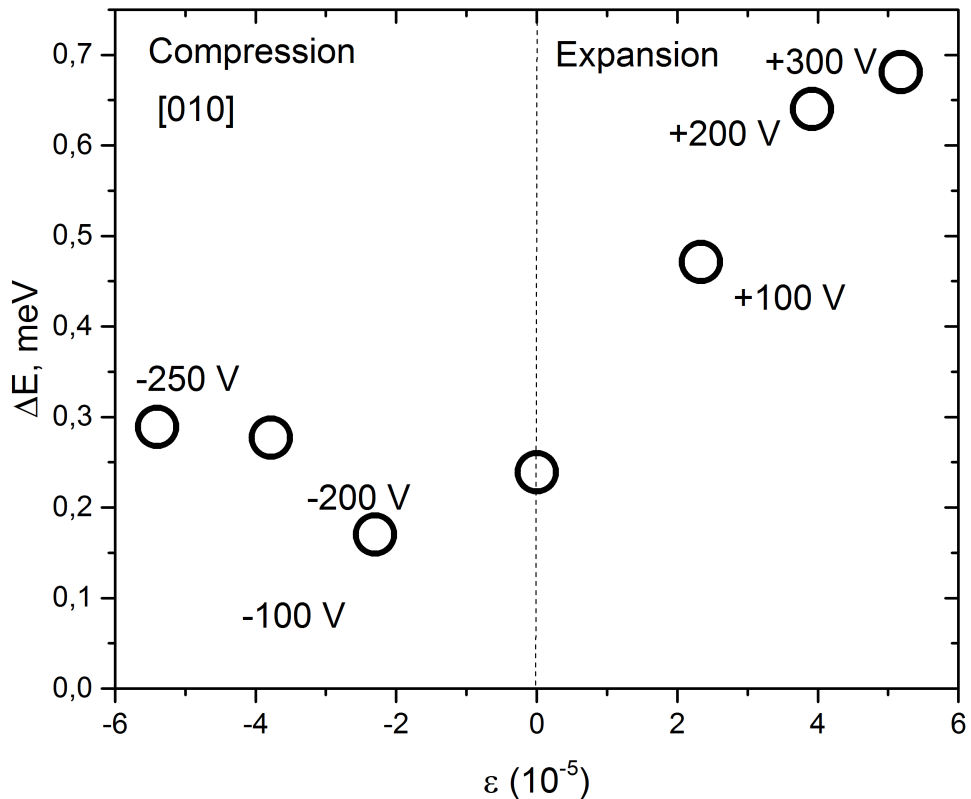


Рис. 5.8: Зависимость междолинного расщепления  $\Delta E$  от приложенной деформации. Также рядом указаны значения приложенного напряжения на пьезоактуатор

# Выводы

В данной работе экспериментально исследовались плазменные возбуждения в высоко-качественной двумерной электронной системе на основе AlAs. Результаты полученные в процессе выполнения:

- впервые были изучены спектры плазменных и магнитоплазменных возбуждений в ДЭС с анизотропными фермионами. В микроволновом отклике дисков двумерных электронов были обнаружены две магнитоплазменные моды: краевая и циклотронная. Удивительной особенностью обнаруженных плазменных мод является щель по частоте между ними в нулевом магнитном поле. Это является прямым следствием сильной анизотропии масс носителей заряда в квантовой яме на основе AlAs.
- Из частот плазменных возбуждений в нулевом магнитном поле были определены значения эффективных масс вдоль основных кристаллографических направлений  $m_l = (1.10 \pm 0.05)m_0$  и  $m_{tr} = (0.20 \pm 0.01)m_0$ .
- Было установлено, что повышение электронной плотности приводит к качественным изменениям в спектре двумерных плазмонов, что указывает на заполнение второй долины. Было показано, что междолинное расщепление  $\Delta E$  приводит к радикальной перестройке спектра магнитоплазменных возбуждений. Напрямую были определены электронные плотности в каждой из долин и разность энергий между ними, которая является следствием остаточной деформации в плоскости, из-за разницы между постоянными решёток AlAs и GaAs. Результаты согласуются со всеми предыдущими исследованиями междолинного расщепления в AlAs [3, 4, 5]. Тем не менее, эти исследования проводились в сильных магнитных полях ( $B > 1$  Т), в результате чего диапазон малых магнитных полей оставался неисследованным. Данный эксперимент непосредственно определяет население долины из плазменных частот в пределе слабого магнитного поля.
- Были исследованы спектры магнитоплазменных возбуждений при приложении различных деформаций. Исследована зависимость изменения концентраций в долинах и энергии междолинного расщепления  $\Delta E$  в зависимости от приложенной

деформации. Установлено, что деформация образца приводит к существенной перестройке спектра магнитоплазменных возбуждений.

Полученные результаты свидетельствуют о возможности применения в будущем плазменных возбуждений в ДЭС на основе AlAs. Возможность изменения населения долин и спектра магнитоплазменных возбуждений, путём прикладывания внешней механической деформации, делает такой материал очень гибким и интересным объектом для дальнейших исследований. Результаты проведённого исследования открывают путь к новому научному направлению — механической плазмонике.

# **Благодарности**

В заключении хотелось бы выразить благодарность моему научному руководителю В. М. Муравьеву за предложенную интересную работу, чуткое руководство, всестороннюю поддержку и ценные советы. Также автор выражает признательность И. В. Кукшину, за ценные идеи по ходу работы и обсуждения полученных результатов, и всем сотрудникам Лаборатории неравновесных электронных процессов за создание рабочей и дружественной атмосферы. Отдельную благодарность заслуживают преподаватели кафедры физики твёрдого тела за интересные и полезные курсы в течение всего времени обучения.

## **Список публикаций**

1. V. M. Muravev, A. R. Khisameeva, V. N. Belyanin, I. V. Kukushkin, L. Tiemann, C. Reichl, W. Dietsche, and W. Wegscheider. Magnetoplasma excitations of two-dimensional anisotropic heavy fermions in AlAs quantum wells // Phys. Rev. B - 2015. - Vol 92 - 041303(R).

# Список литературы

- [1] D. C. Tsui, H. L. Stormer and A. C. Gossard. Two-Dimensional Magnetotransport in the Extreme Quantum Limit // Phys. Rev. Lett. - 1982 - Vol 48 - 1559.
- [2] S. V. Kravchenko, G. V. Kravchenko, J. E. Furneaux, V. M. Pudalov and M. D'lorio. Possible metal-insulator transition at  $B=0$  in two dimensions // Phys. Rev. B - 1994 - Vol 50 - 8039.
- [3] T. Ando, A. B. Fowler, and F. Stern. Electronic properties of two-dimensional systems // Rev. Mod. Phys. - 1982 - Vol. 54 - 437.
- [4] Y. P. Shkolnikov, E. P. De Poortere, E. Tutuc, and M. Shayegan. Valley Splitting of AlAs Two-Dimensional Electrons in a Perpendicular Magnetic Field // Phys. Rev. Lett. - 2002 - Vol. 89 - 226805.
- [5] Y. P. Shkolnikov, S. Misra, N. C. Bishop, E. P. De Poortere, and M. Shayegan. Observation of Quantum Hall "Valley Skyrmions" // Phys. Rev. Lett. - 2005 - Vol. 95 - 066809.
- [6] M. Shayegan, E. P. De Poortere, O. Gunawan, Y. P. Shkolnikov, E. Tutuc and K. Vakili. Two-dimensional electrons occupying multiple valleys in AlAs // Phys. Status Solidi B - 2006 - Vol. 243 - Pp. 3629-3642.
- [7] A. V. Chaplik. Absorption and emission of electromagnetic waves by two-dimensional plasmonsOriginal // Surface Science Reports - 1985 - Vol. 5 - Pp. 289-335.
- [8] O. Gunawan, Y. P. Shkolnikov, E. P. De Poortere, E. Tutuc, and M. Shayegan. Ballistic Electron Transport in AlAs Quantum Wells // Phys. Rev. Lett. - 2005 - Vol. 93 - 246603.
- [9] G. Dresselhaus, A. F. Kip, and C. Kittel. Cyclotron Resonance of Electrons and Holes in Silicon and Germanium Crystals // Phys. Rev. B - 1955 - Vol. 98 - 368.
- [10] Stern Frank. Polarizability of a Two-Dimensional Electron Gas // Phys. Rev. Lett. Ч 1967. Ч Vol. 18. Ч Pp. 546-548.
- [11] S. J. Allen, Jr., D. C. Tsui, and R. A. Logan. Observation of the Two-Dimensional Plasmon in Silicon Inversion Layers // Phys. Rev. Lett. - 1977 - 980.

- [12] V. A. Volkov, S. A. Mikhailov, "Electrodynamics of two-dimensional electron systems in high magnetic fields" Elevier - 1991.
- [13] E. Batke and C. W. Tu. Effective mass of a space-charge layer on GaAs in a parallel magnetic field // Phys. Rev. B - 1986 - Vol. 34 - 3027.
- [14] V. E. Kozlov, S. I. Gubarev, I. V. Kukushkin. Magnetoplasma Resonance in a GaAs/AlGaAs Quantum Well in a Strong Parallel Magnetic Field // JETP Lett. - 2011 - Vol. 94 - 397.
- [15] V. E. Kozlov, S. I. Gubarev, A. A. Dremin, I. V. Kukushkin. Occurrence of a Gap in the Spectrum of Magnetoplasma Excitations of a Two-Dimensional Electron Disk Subjected to a Strong In-Plane Magnetic Field // JETP Lett. - 2012 - Vol. 96 - 525.
- [16] A.V. Chaplik. Possible Crystallization of Charge Carriers in Low-density Inversion Layers // JETP - 1972 - Vol. 35, No. 2 - 395.
- [17] D. Olego, A. Pinczuk, A. C. Gossard, W. Wiegmann, Phys. Rev. B - 1982 - Vol. 25 - 7867.
- [18] E. Batke, D. Heitmann, J. P. Kotthaus and K. Ploog, Phys. Rev.Lett. - 1985 - Vol. 54 - 2367.
- [19] E. Batke, D. Heitmann, A. D. Wieck and J. P. Kotthaus, Solid State Commun. - 1983 - Vol. 46 - 269.
- [20] A. D. Wieck, E. Batke, D. Heitmann and J. P. Kotthaus, Surf. Sci. 142 - 1984 - 442.
- [21] Theis TN, Kotthaus JP, Stiles PJ. Two-dimensional magnetoplasmon in the silicon inversion layer // Solid State Communications
- [22] Allen S. J., Stormer H. L., Hwang J. C. M. Dimensional resonance of the two-dimensional electron gas in selectively doped GaAs/AlGaAs heterostructures // Phys. Rev. B. ¶ 1983 ¶ Vol. 28 ¶ Pp. 4875¶4877
- [23] S. Adachi. GaAs, AlAs, and  $Al_xGa_{1-x}As$ : Material parameters for use in research and device applications // J. Appl. Phys. - 1985 - Vol. 58 - R1.
- [24] Ugo Fano. Effects of Configuration Interaction on Intensities and Phase Shifts // Phys. Rev. B - 1961 - Vol. 124 - Pp. 1866.
- [25] V. A. Volkov and S. A. Mikhailov. Edge magnetoplasmons: low-frequency weakly damped excitations in inhomogeneous two-dimensional electron systems // Zh. Eksp. Teor. Fiz. - 1988 - Vol. 94 - Pp. 217-241.

- [26] C. Dahl, F. Brinkop, A. Wixforth, J. P. Kotthaus, J. H. English, and M. Sundaram. Dimensional resonances in elliptic electron disks // Solid State Commun. - 1991 - Vol. 80 - 673.
- [27] V. Shikin, S. Nazin, D. Heitmann, and T. Demel. Dynamic response of quantum dots // Phys. Rev. B -1991 - Vol. 43 - 11903.
- [28] V. A. Geyler, V. A. Margulis, and A. V. Shorokhov. Hybrid resonances in the optical absorption of a three-dimensional anisotropic quantum well // Phys. Rev. B - 2001 - Vol. 63 - 245316.
- [29] I. V. Kukushkin, J. H. Smet, S. A. Mikhailov, D. V. Kulakovskii, K. von Klitzing, and W. Wegscheider. Observation of Retardation Effects in the Spectrum of Two-Dimensional Plasmons // Phys. Rev. Lett. - 2003 - Vol. 90 - 156801.
- [30] R. Z. Vitlina and A. V. Chaplik. Plasma oscillations of multicomponent two dimensional systems // Soviet Phys. JETP - 1981 - Vol. 54 - 536.